МИНИСТЕРСТВО ОБРАЗОВАНИЯ И НАУКИ РЕСПУБЛИКИ КАЗАХСТАН КАЗАХСКИЙ НАЦИОНАЛЬНЫЙ ИССЛЕДОВАТЕЛЬСКИЙ ТЕХНИЧЕСКИЙ УНИВЕРСИТЕТ имени К.И.САТПАЕВА



Институт геологии и нефтегазового дела имени К. Турысова Кафедра: Геофизика

Комплексная интерпретация материалов ГИС

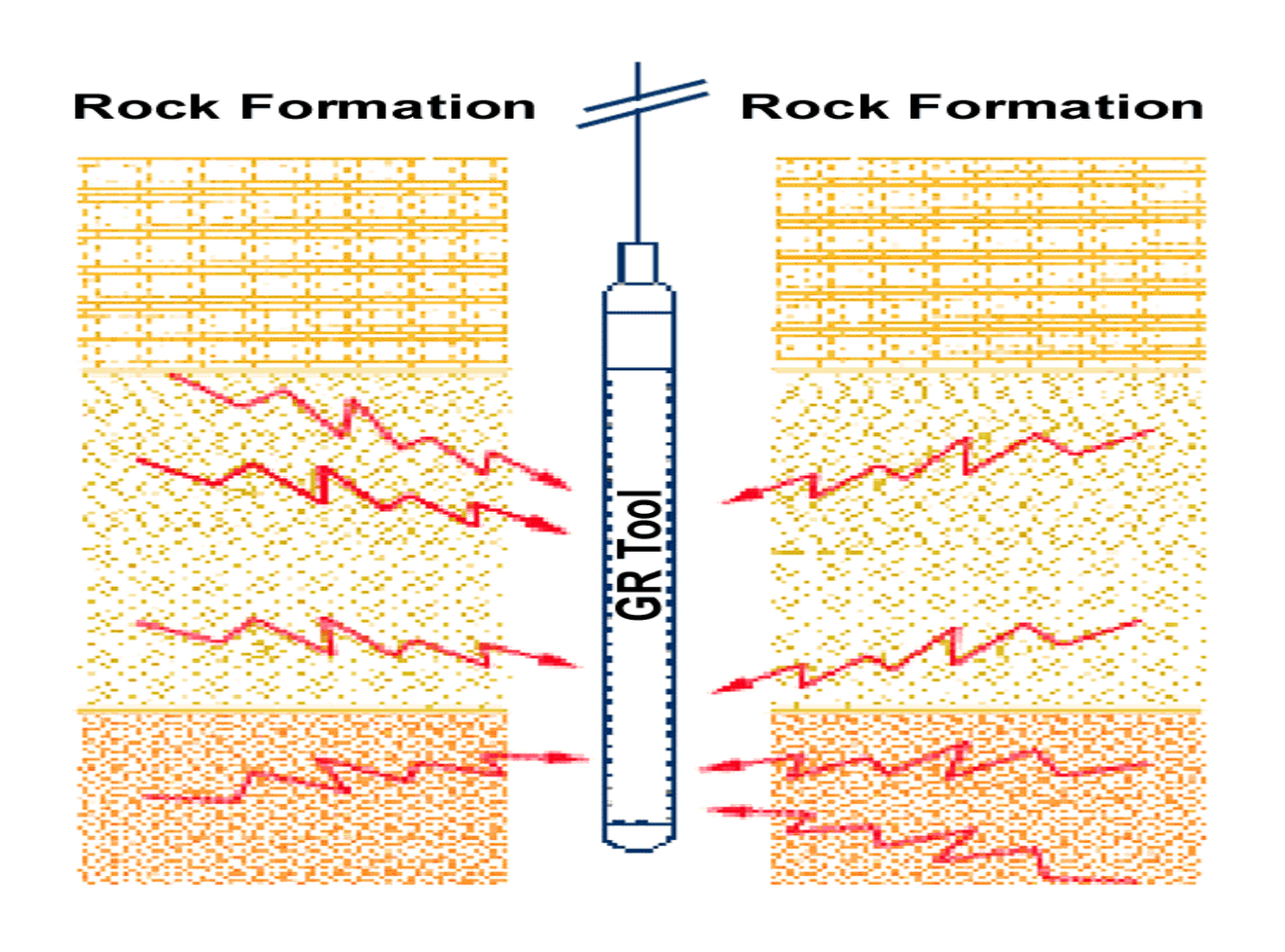
для специальности 7Мо7105 «Нефтегазовая и рудная геофизика»

Истекова С.А.,

докт. геол.-минерал. наук, проф. каф. Геофизики

АЛМАТЫ 2023

Лекция 7 РАДИОАКТИВНЫЙ КАРОТАЖ Gamma Ray Logging



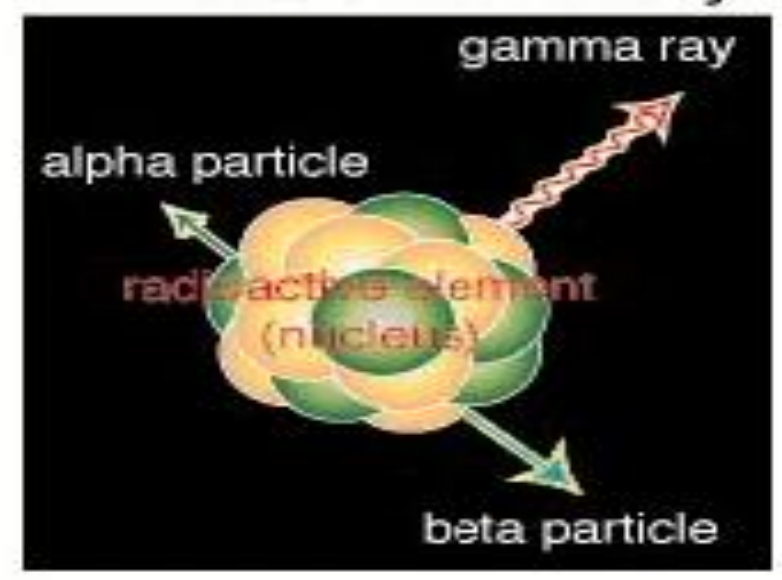
Радиоактивность

- Это результат распада нестабильных ядер, который сопровождается эмиссией частиц или энергии.
- Гамма излучение возникает, когда ядро переходит из более высокого энергетического состояние в более низкое или основное. При этом может испускаться как гамма луч, так и фотон.
- Альфа частицы положительно заряженные частицы из двух протонов и двух нейтронов, идентичные ядру гелия.
- Бета частицы:
- электроны, когда нейтрон переходит в протон,
- позитроны, когда протон переходит в нейтрон.

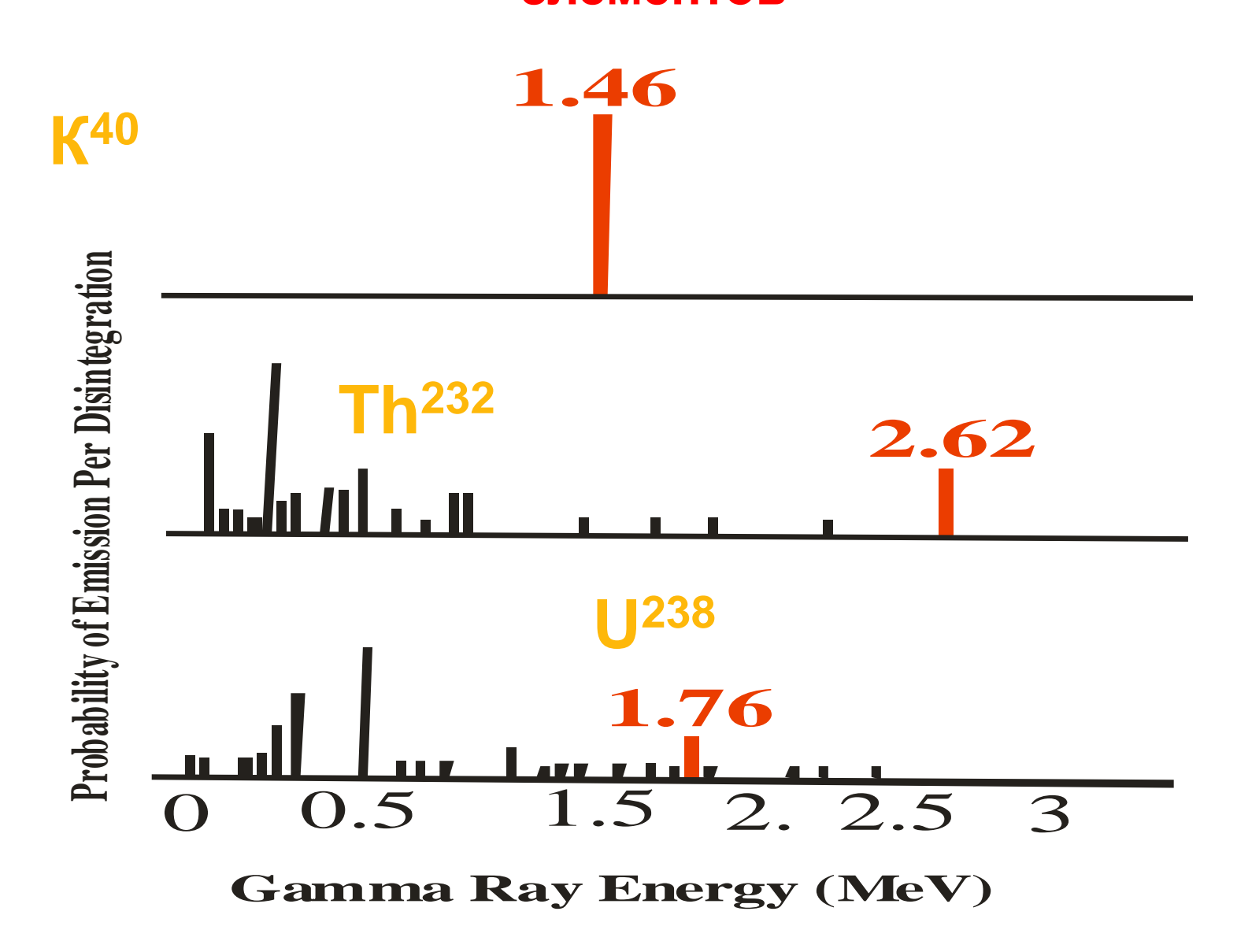
Гамма лучи — фотоны (частицы), или электромагнитная энергия высокой частоты, распространяющиеся со скоростью света.

Не имеет свободной массы.

Radioactive Decay



Энергетические спектры основных радиоактивных элементов

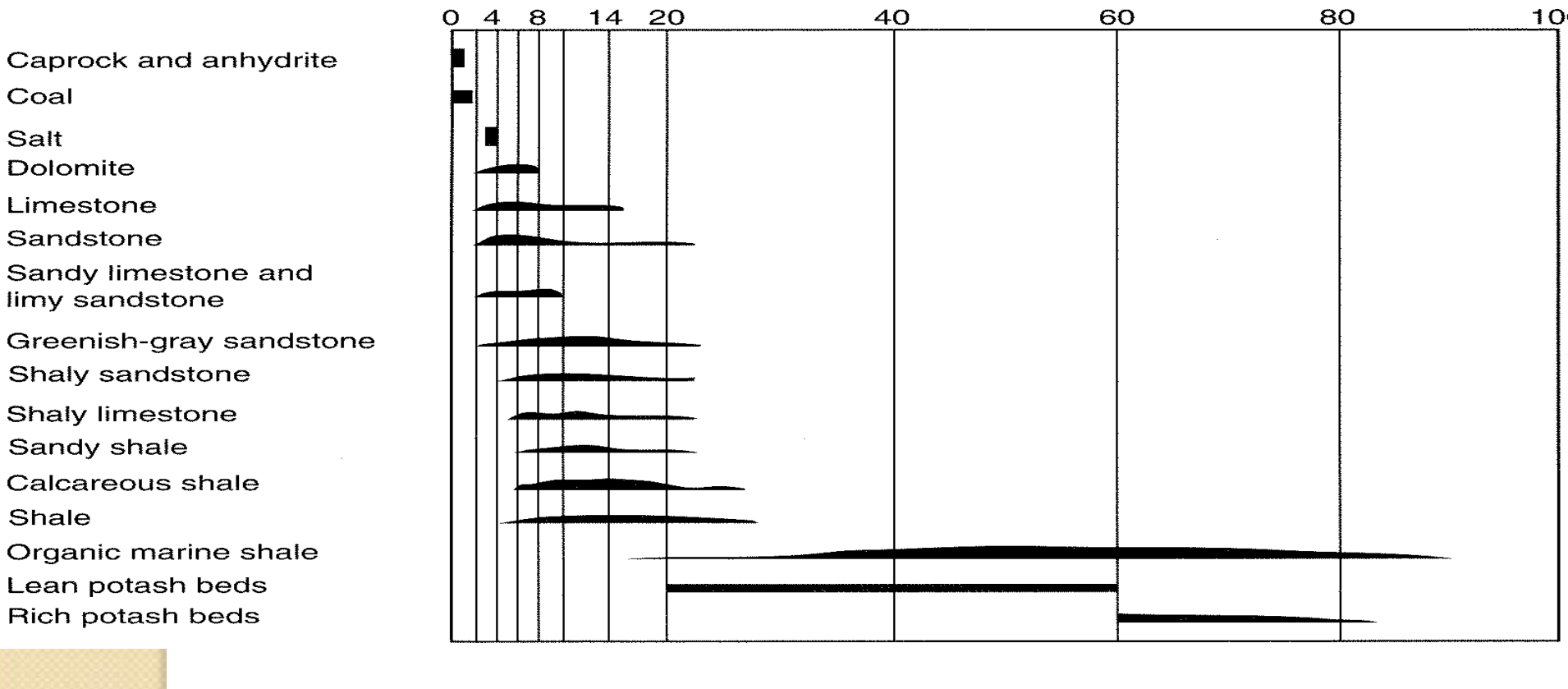


Активность горных пород

- Магматические горные породы:
 - Максимальная активность кислые породы (из-за повышенного содержания калия),
 - Минимальная ультраосновные породы.
- Осадочные породы:
 - Наиболее активны глины, обладающие высокой адсорбционной способностью,
 - Менее активны песчаники,
 - Наименьшей активностью обладают известняки и доломиты, а также гидрохимические осадки (гипс, ангидрит, каменная соль).

Радиоактивность минералов, наиболее распространенных в земной коре

| Mineral or Lithology | Composition | Gamma Radiation (API Units) | | | |
|----------------------|---|--------------------------------|--|--|--|
| Pure Mineral | | | | | |
| Calcite | CaCO ₃ | 0 | | | |
| Dolomite | $CaMg(CO_3)_2$ | 0 | | | |
| Quartz | SiO_2 | 0 | | | |
| Lithology | | | | | |
| Limestone | - | 5-10 | | | |
| Dolomite | - | 10-20 | | | |
| Sandstone | - | 10-30 | | | |
| Shale | - | 80-140 | | | |
| Evaporites | | | | | |
| Halite | NaCl | О | | | |
| Anhydrite | CaSO ₄ | 0 | | | |
| Gypsum | $CaSO_4(H_2O)_2$ | 0 | | | |
| Sylvite | KCl | 500 | | | |
| Carnalite | KCl MgCl ₂ (H ₂ 0) ₆ | 220 | | | |
| Langbeinite | $K_2SO_4(MgSO_4)_2$ | 290 | | | |
| Polyhalite | $K_2SO_4MgSO_4(CaSO_4)_2(H_2O)_2$ | 200 | | | |
| Kainite | $MgSO_4KCl(H_2O)_3$ | 245 | | | |
| Others | | | | | |
| Sulphur | S | 0 | | | |
| Lignite | $CH_{0.849} N_{0.015} O_{0.221}$ | 0 | | | |
| Anthracite | $CH_{0.358} N_{0.009} O_{0.022}$ | 0 | | | |
| Micas | - | 200-350 | | | |



(After Russell, 1941)

Coal Salt

Dolomite Limestone Sandstone

limy sandstone

Shaly sandstone Shaly limestone Sandy shale

Calcareous shale

Lean potash beds Rich potash beds

Shale

радиоактивность наблюдается в Самая высокая калиевых сформировались пластах глинах, которые И \mathbf{B} восстановительной обстановке в присутствии органического материала

РАДИОАКТИВНЫЙ КАРОТАЖ

Методы, основанные на измерении как естественных, так и искусственно вызванных радиоактивных излучений в скважинах.

Естественные излучения регистрируются в методах:

GR – гамма-каротаж (ГК)

DSL – спектральный гамма-каротаж (СГК)

Искусственно вызванные радиоактивные излучения регистрируются в методах:

ZDL – плотностной каротаж (ГГК-П)

NGR - Нейтронный гамма-каротаж (НГК)

CN – компенсированный нейтронный каротаж (ННК)

Гамма-каротаж

• Измерение естественной радиоактивности

Основные радиоактивные элементы:

Калий

Торий

Уран

К и ТН в основном в глинах

U происходит из других источников

 В основном используется для определения литологии (песчаник/глины)

Гамма-каротаж (ГК)

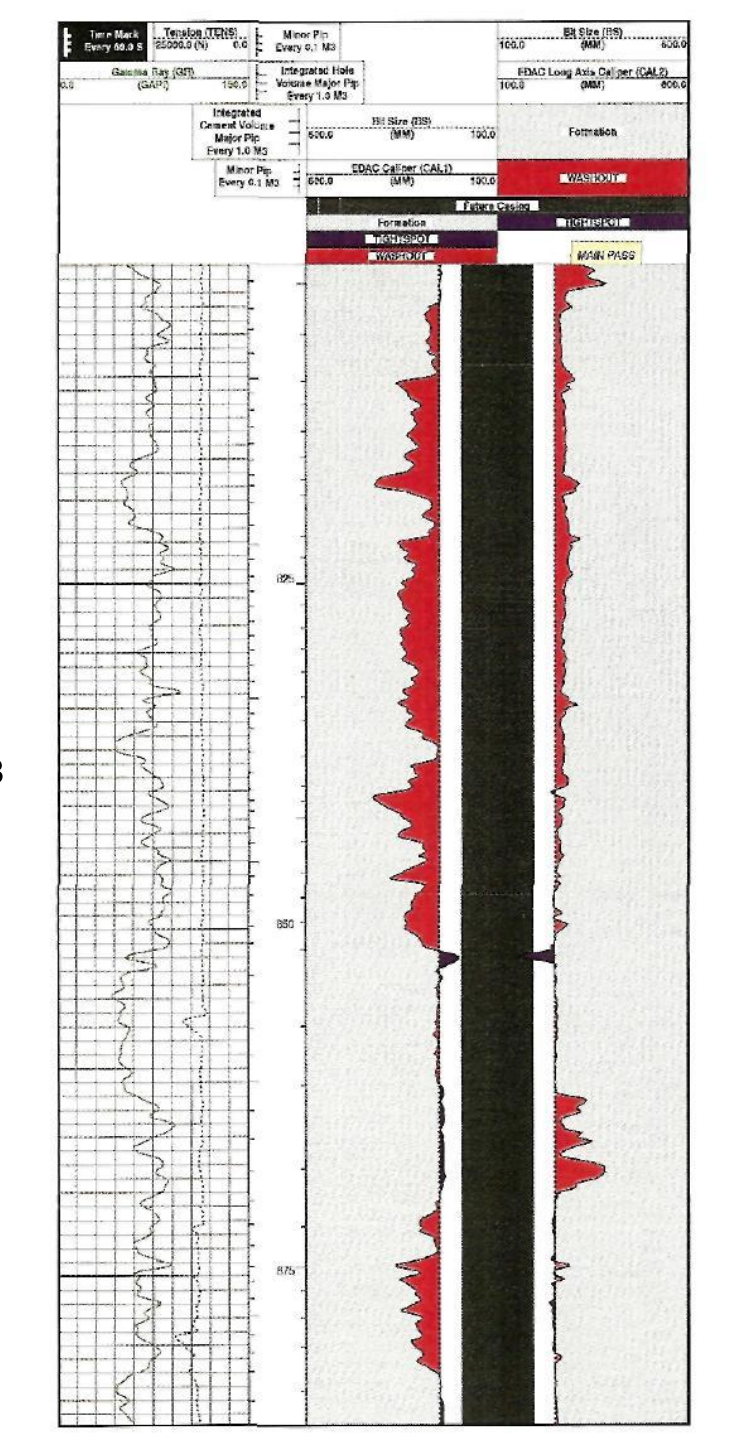
- •Заключается в измерении у-излучения естественных радиоактивных элементов (ЕРЭ), содержащихся в горных породах, пересеченных скважиной.
- •Интенсивность и энергетический спектр регистрируемого
- излучения зависит от состава, концентрации и пространственного распределения ЕРЭ, а также от плотности и эффективного атомного номера горных пород.
- •Наиболее распространенными ЕРЭ являются:
- U (и образующийся из него Ra), Th и K.
- •Каждая из разновидностей горных пород характеризуется своим диапазоном изменения содержаний ЕРЭ и, соответственно, своим диапазоном естественной радиоактивности.

Гамма каротаж GAMMA RAY LOG

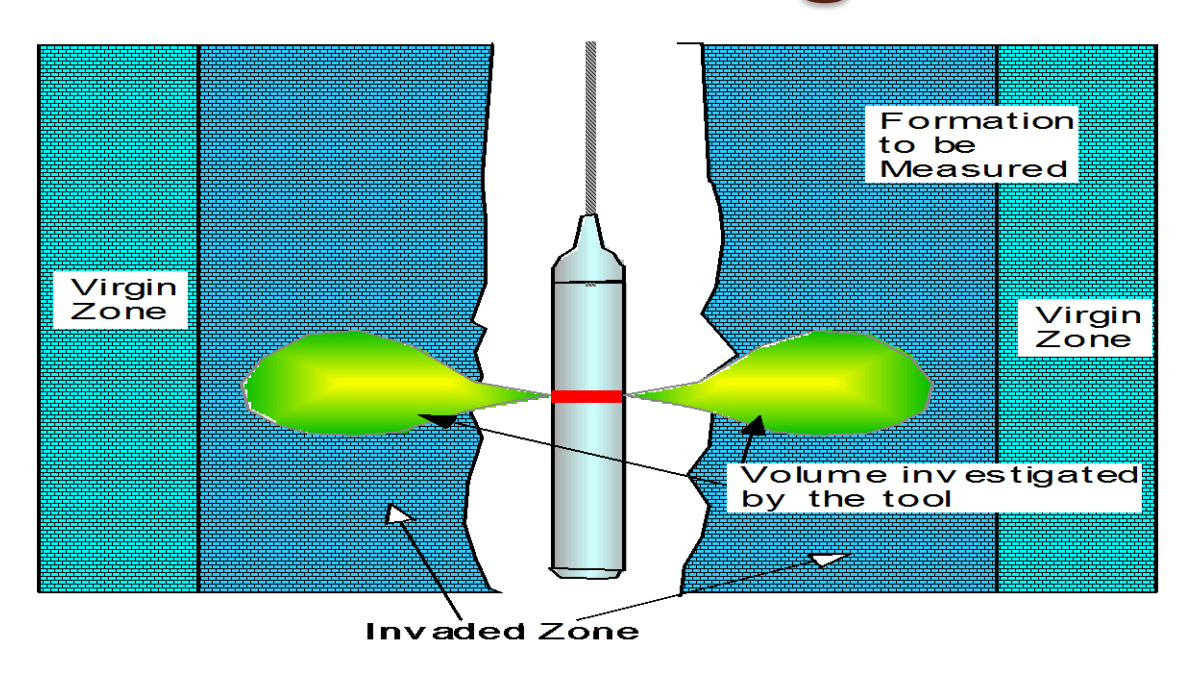
- Простой индикатор глин
- Обычный инструмент корреляции
- Может выполняться в открытых и обсаженных скважинах.
- Обычно выполняется на керне для глубинной привязки к каротажам.
 - Проблемы ГК...
- Геологами предполагается абсолютно непогрешимым (методом).
- Регулярно искажает содержание глин (не может дифференцировать глины от радиоактивных минералов).
- Плохое вертикальное разрешение (новые приборы имеют лучшее разрешение).



- Прибор гамма-каротажа записывает естественное гамма излучение в пластах прилегающих к скважине.
- Эти замеры регистрируют естественную радиоактивность пласта.
- Гамма-каротаж применяется при любых промывочных жидкостях и является стандартным методом при корреляции данных в обсаженных и в необсаженных скважинах.
- Прибор обычно применяется в комбинации с другими методами и заменяет кривую ПС в скважинах, пробуренных на соленом, нефтяном растворе, или воздухе.
- Основное применение:
- контроль по глубине
- индикатор глинистости
- определение продуктивных пластов



Volume of Investigation



Инструменты, показанные здесь измеряет все вокруг буровой скважины. Они всенаправленные.

Часть "сигнала" находится в буровой скважине.

Большая часть сигнала прибывает из захваченной зоны.

Аппаратура ГК имеет, в принципе, такое же устройство, как и полевые радиометры.

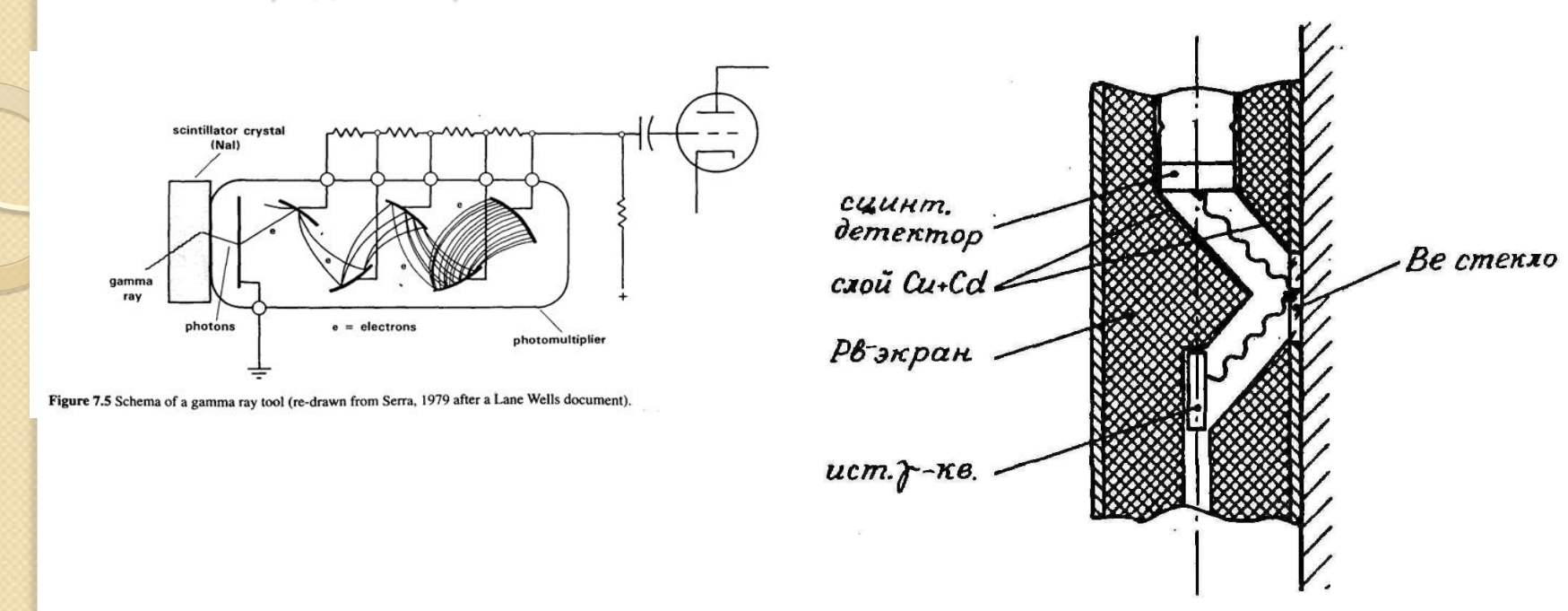
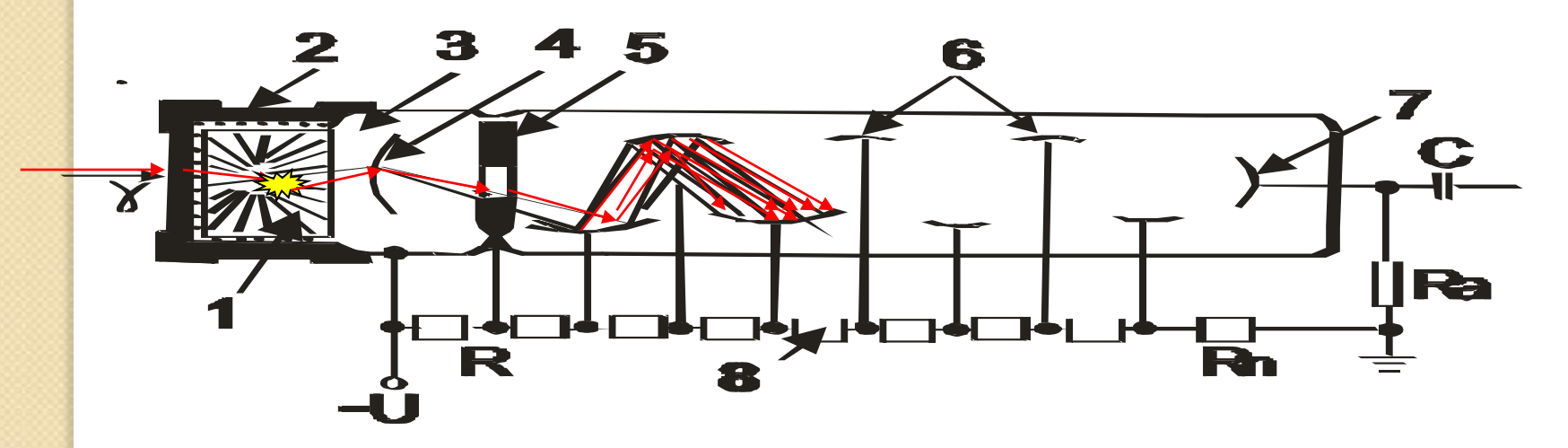


Рис. 13.1. Устройство зонда рентген-радиометрического каротажа

В каротажных радиометрах детектор у-квантов с источником его питания и блоками первичной обработки сигнала подсоединяется к измерительному пульту через каротажный кабель, имеющий длину до нескольких километров и в измерительном пульте предусмотрен вывод сигнала на регистратор для непрерывной записи его в функции глубины скважины.

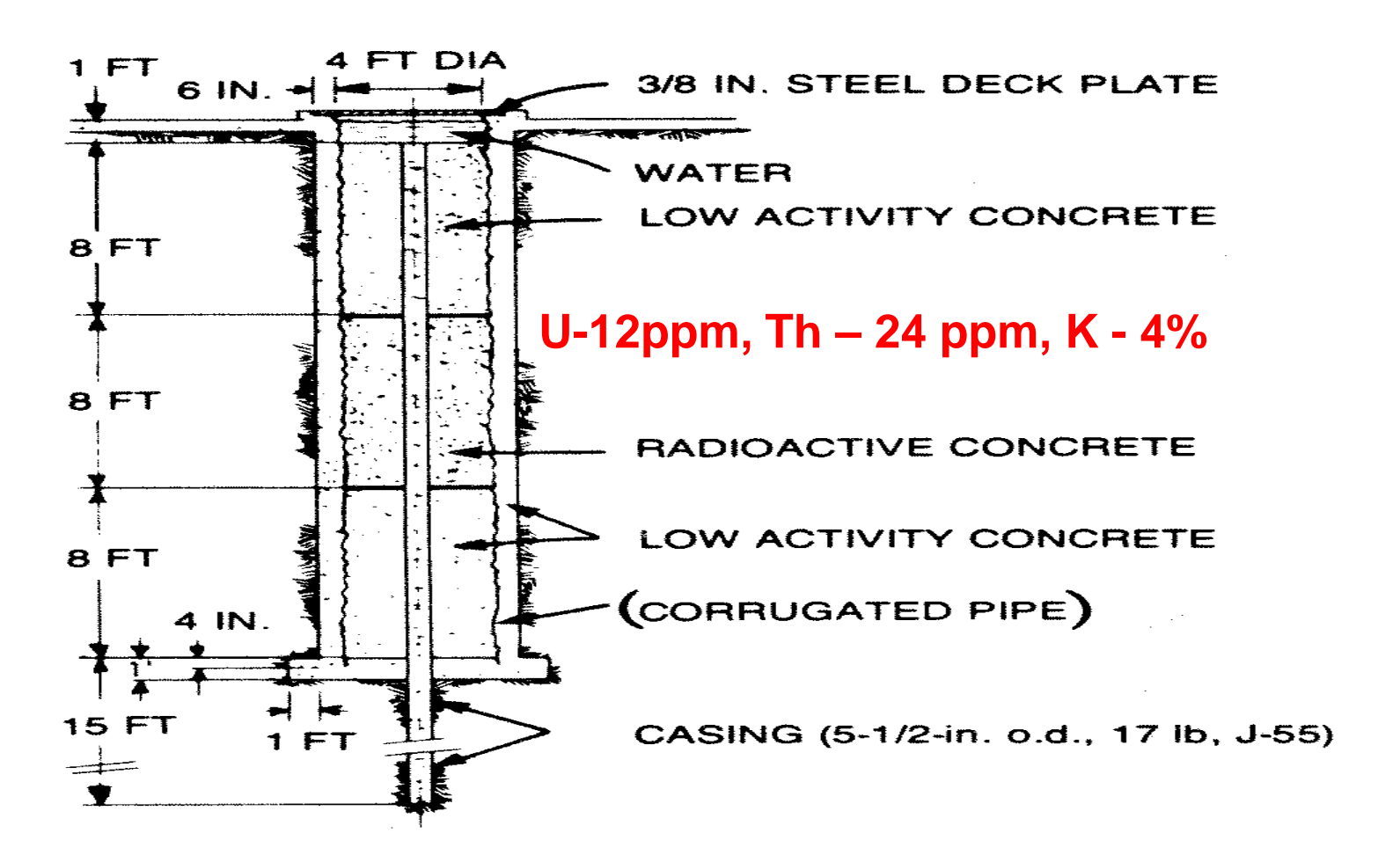
Запись показаний производится в единицах мощности экспозиционной дозы излучения (МЭД),выраженных в А/кг (единица СИ) или в мкР/час (внесистемная единица); 1 пА/кг = 13 мкР/час.

Устройство сцинтилляционного счетчика



1-сцинтиллятор; 2- отражатель; 3 $-\Phi$ ЭУ; 4 - фотокатод; 5 - фокусирующий динод; 6 - диноды; 7 - анод; 8 - делитель напряжения; с -емкость; $\mathbf{R}_{\mathbf{a}}$ - анодная нагрузка

Градуировка прибора в единицах **АРІ** на эталонной скважине

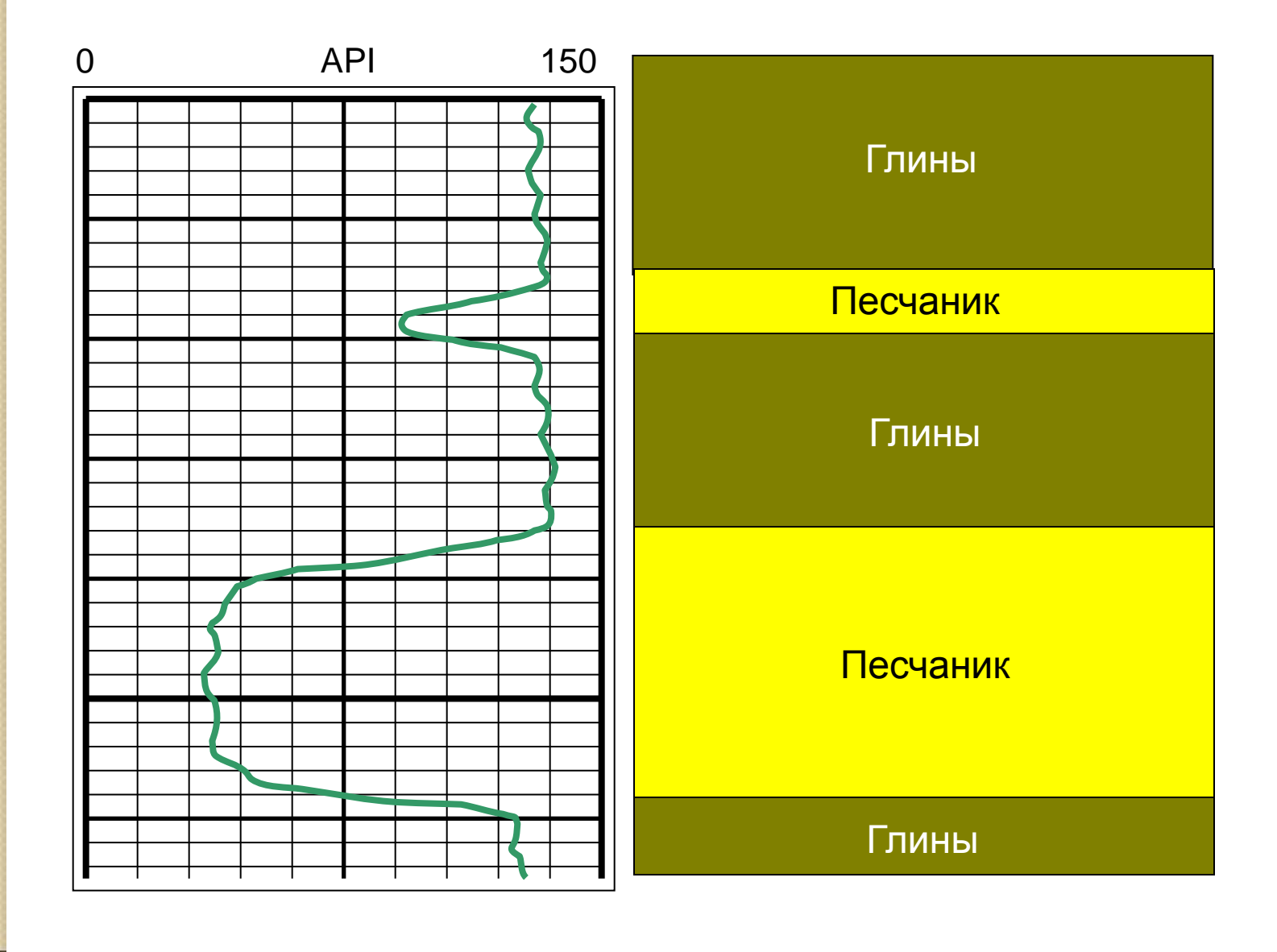


Одна единица API равна 1/200 разницы отклонений показаний прибора между высокорадиоактивной и низкорадиоактивной частями скважины

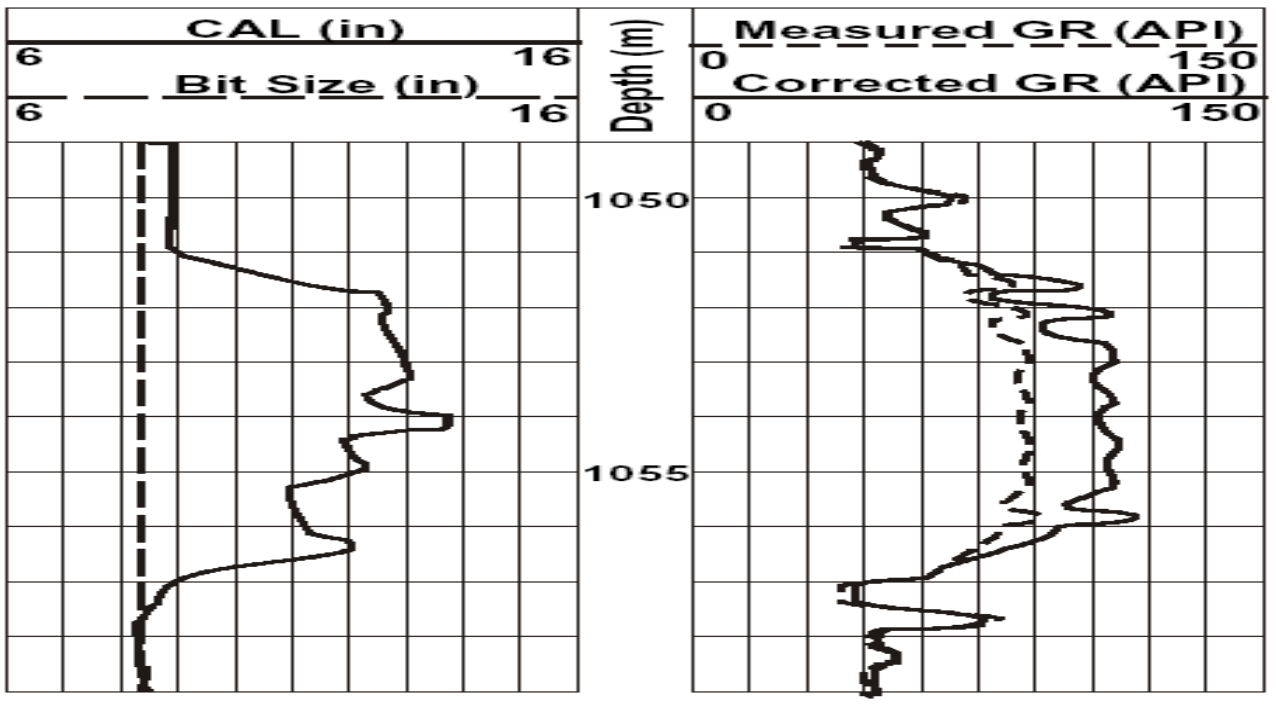
| Counts | No. of Counts | Period (s) | Count Rate (per second) | No. of Counts | Period (s) | Mean Count Rate | No. of Counts | Period (s) | Mean Count Rate |
|---------------------------------------|-------------------------|---------------|----------------------------------|---------------------|---------------|-----------------------|---------------------|---------------|-----------------------|
| | $T_c = 0.333 \text{ s}$ | | | $T_c = 1 \text{ s}$ | | | $T_c = 3 \text{ s}$ | | |
| • • • • | 4 | 0.333 | 12 | 14 | 1 | 14 | | | |
| • • • • • | 6 | 0.333 | 18 | | | | | | |
| • • • • | 4 | 0.333 | 12 | | | | | | |
| • • • • | 5 | 0.333 | 15 | | | | | 1 | |
| • • • | 3 | 0.333 | 9 | 12 | 1 | 12 | 39 | 3 | 13 |
| • • • • | 4 | 0.333 | 12 | | | | _ | | |
| • • • • | 5 | 0.333 | 15 | 13 | 1 | 13 | | | |
| • • • | 3 | 0.333 | 9 | | | | | | |
| • • • • | 5 | 0.333 | 15 | | | | | | |
| Mean Count Rate (per second) | - | - | 13 | - | - | 13 | - | - | 13 |
| Range of | T - | - | 9 -18 | - | - | 12-14 | - | - | 13-13 |
| Count Rate (per second) | | | | | | | | | |
| Standard Deviation (per second) | - | - | 3 | - | - | 1 | - | - | - |

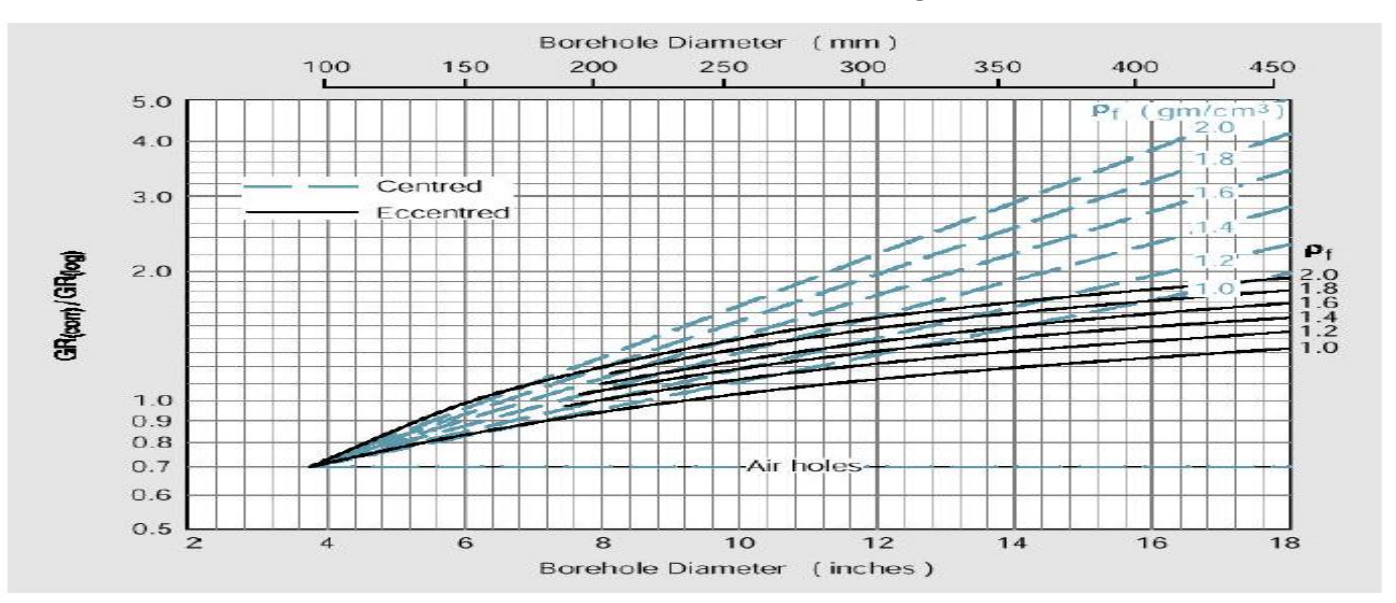
Скорость подъема прибора – **1 фут/с** Экспериментальные данные наглядно показывают, что оптимальное время регистрации в интегрирующей ячейке— 1 с.

Гамма-каротаж



Коррекция кривой GR





Интерпретация результатов *ГК*

- *Качественная* интерпретация диаграмм ГК -литологическом расчленении разреза.
- •Наиболее эффективен ГК при поисках и разведке руд ЕРЭ, например, урановых руд или калийных солей.
- •При *количественной* интерпретации диаграмм ГК получают мощность рудных интервалов и содержание радионуклида для подсчета запасов радиоактивных руд.
- •При этом ГК дает более достоверные результаты, чем опробование керна за счет своей большей представительности.
- •Количественная интерпретация диаграмм ГК основывается на зависимости площади аномалии S от мощности радиоактивного интервала h и содержания в нем радиоактивного элемента q, выражаемой уравнением:

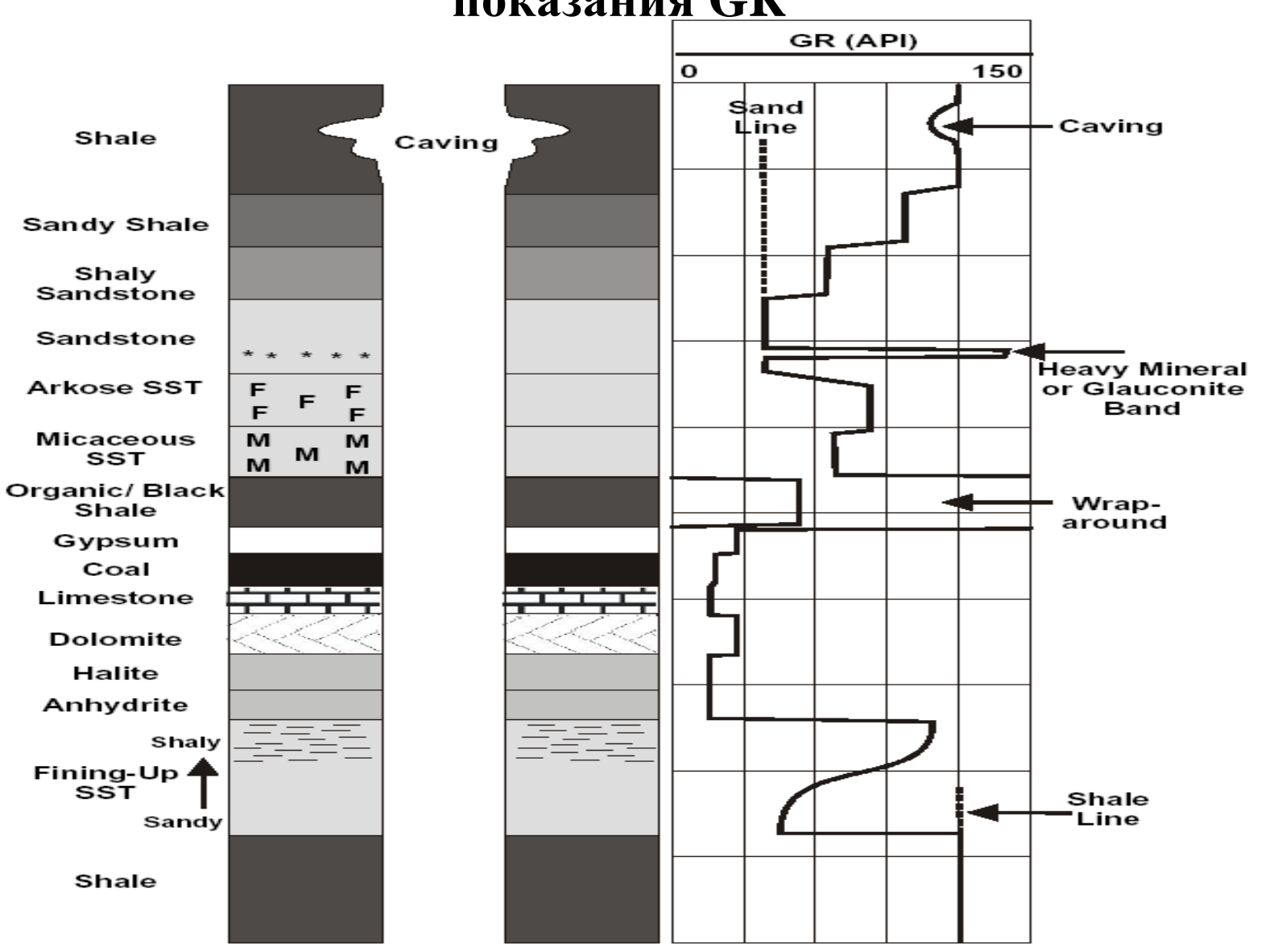
$$S = Ko \cdot qh$$

где Ко - коэффициент пропорциональности, определяющий интенсивность уизлучения пласта насыщенной мощности при единичном содержании в нем радиоактивного элемента.

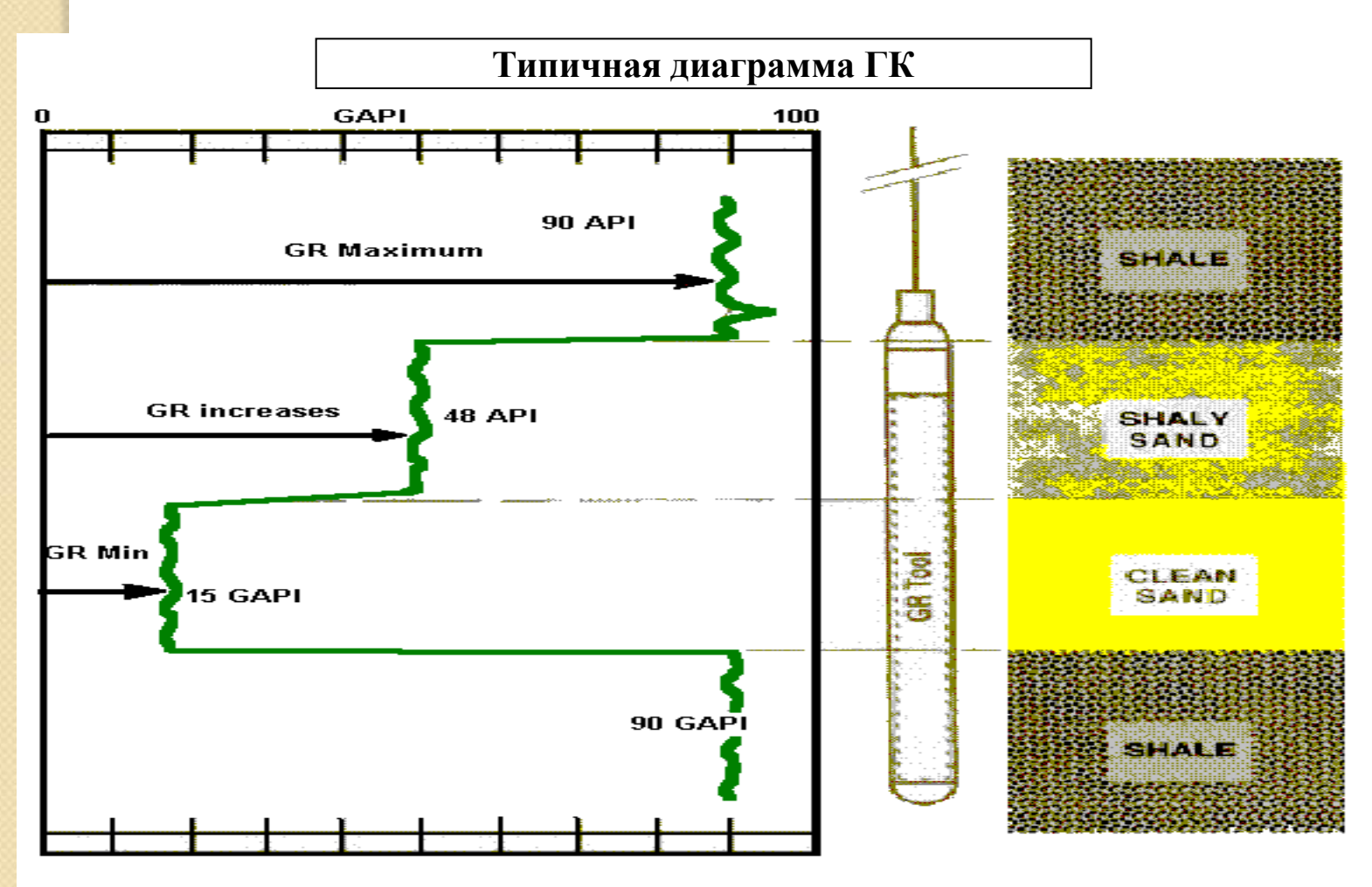
Величина Ко зависит от типа и размеров детектора, а также от плотности и 2эф руды. Поскольку учесть все эти факторы аналитически весьма сложно, то величину КО определяют экспериментально по измерениям на моделях пластов с известным содержанием радионуклида.

•Например, для урановых руд гидрогенного типа и счетчика МС-13 K_0 =115 мкР/час на 0,01 % U.

Влияние различных литологических разностей на показания GR



Гамма каротаж в песчано-глинистом разрезе



VshGR = (GRlog - GRmin) / (GRmax - GRmin)

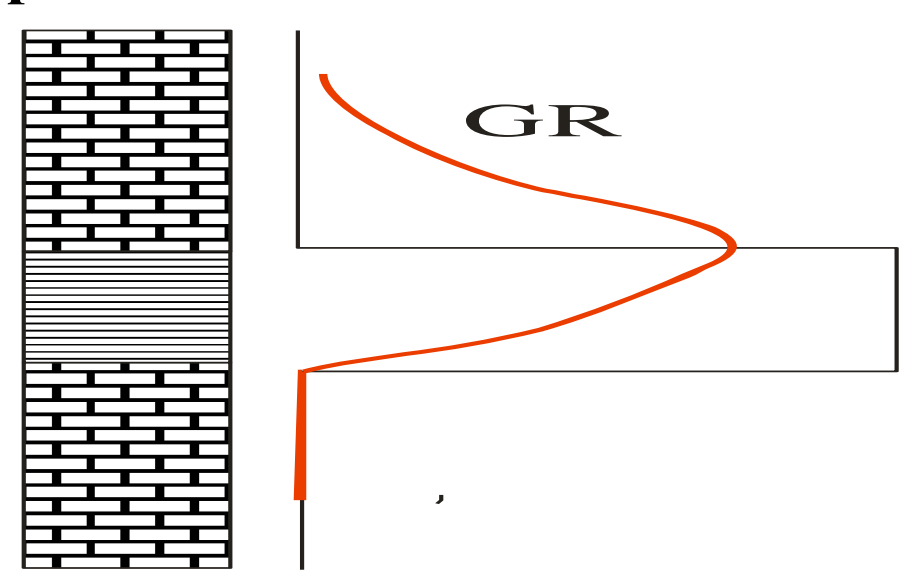
GRmin: Sand = 15; LS = 12; Dolomite = 10

Определение границ пласта

скорость подъема прибора должна быть 500 м/ч.

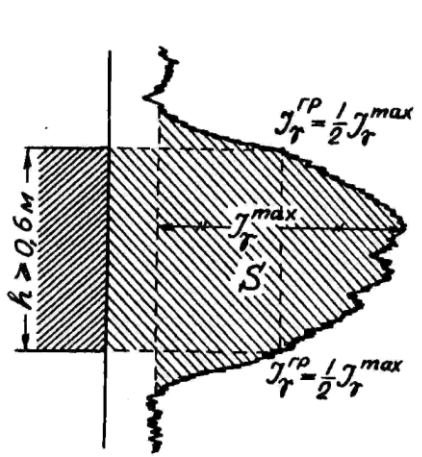
С удовлетворительной для практики точностью определение границ можно делать точкам, соответствующим началу подъема и началу спада кривой против пласта повышенной интенсивности излучения. GR

Разрешающая способность метода-90 см.



Определение мощности

- •Для определения мощности рудного интервала используют способ 1/ lymax и 4/5 lymax
- •Выбор способа зависит от мощности рудного тела и равномерности оруденения и некоторых других факторов.
- •Способ 1/2 lymax применяют при условии насыщенной мощности рудных тел (h>0,6m) и при равномерном оруденении.
- Амплитуду аномалии Ir тах отсчитывают от уровня у- фона вмещающих пород с учетом разности показаний над перекрывающими и подстилающими породами.



по у-излученик

Рис. 12.2. Определение контактов пласта большой мощности и расчет площади аномалии по диаграмме ГК

Определение содержаний

• Определение содержания для всех видов аномалий производится по формуле:

$$q = \frac{S}{100 K_0 \cdot h} \%,$$

где h - мощность интервала, м.

• Значение площади S в см-мкР/час определяется по замкнутому контуру, ограниченному кривой ГК, осью глубин и контактами пласта

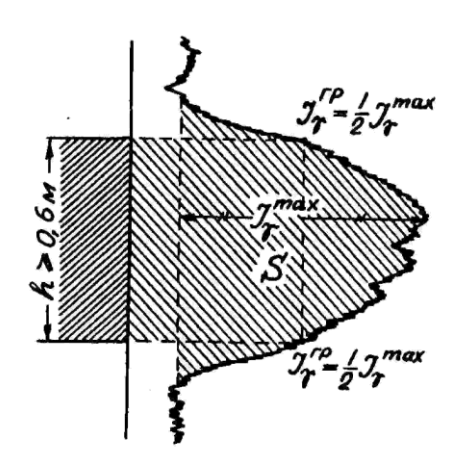


Рис. 12.2. Определение контактов пласта большой мощности и расчет площади аномалии по диаграмме ГК

Определение содержаний

•При определении по ГК содержания U необходимо вводить поправку на состояние радиоактивного равновесия между ураном и радием, поскольку сам уран у-квантов практически не дает, а все у-

излучение идет от радия и продуктов его распада.

Состояние радиоактивного равновесия определяют по содержанию в руде U и Ra, которые находят по лабораторным анализам керна.

В равновесной руде содержание Ra в 3,4-10-7 раз меньше. чем U. Соответственно, в неравновесной руде $K_{pp} = \frac{q_{Ra}}{q_{IJ} \cdot 3.4 \cdot 10^{-7}}$

С поправкой на состояние радиоактивного равновесия содержание U:

$$q_{ucn} = \frac{q}{K_{pp}}.$$

Определение глинистости по показаниям кривой GR

- В скважинах нефтяных и газовых месторождений по диаграммам ГК определяют глинистость коллекторов.
- На диаграммах ГК проводят одну линию, соответствующую глинам, другую соответствующую чистым кварцевым пескам.
- Величину отклонения 1у от этих линий на исследуемом пласте полагают линейно связанной с глинистостью
- коллектора Сгп.
- По мнению других источников, $lg \, C_{\it en} = a I_{\it y} \it в$, где а и в постоянные, величину которых определяют для каждого месторождения на основе лабораторного анализа керна.

Интерпретация ГК

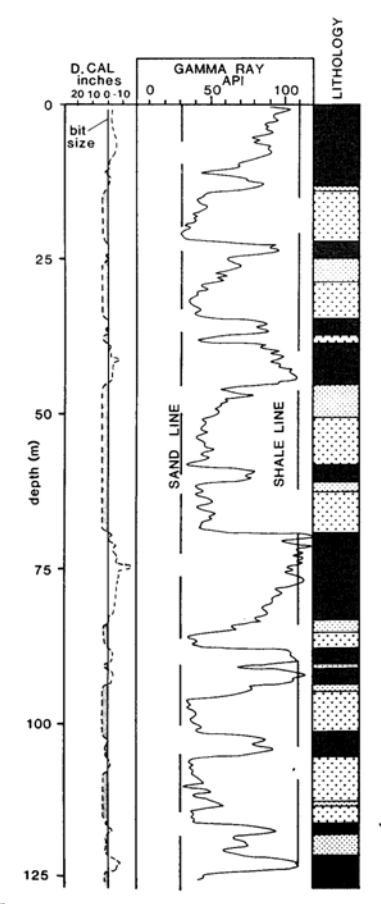


Figure 7.14 Sand line and shale line defined on a gamma ray log. These 'baselines' are for the quantitative use of the log, and may be reasonably constant in any one zone.

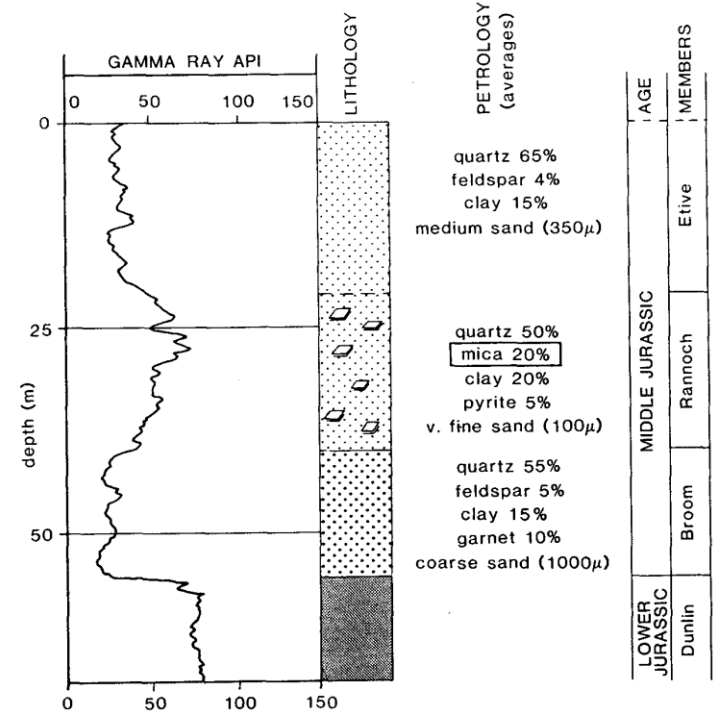
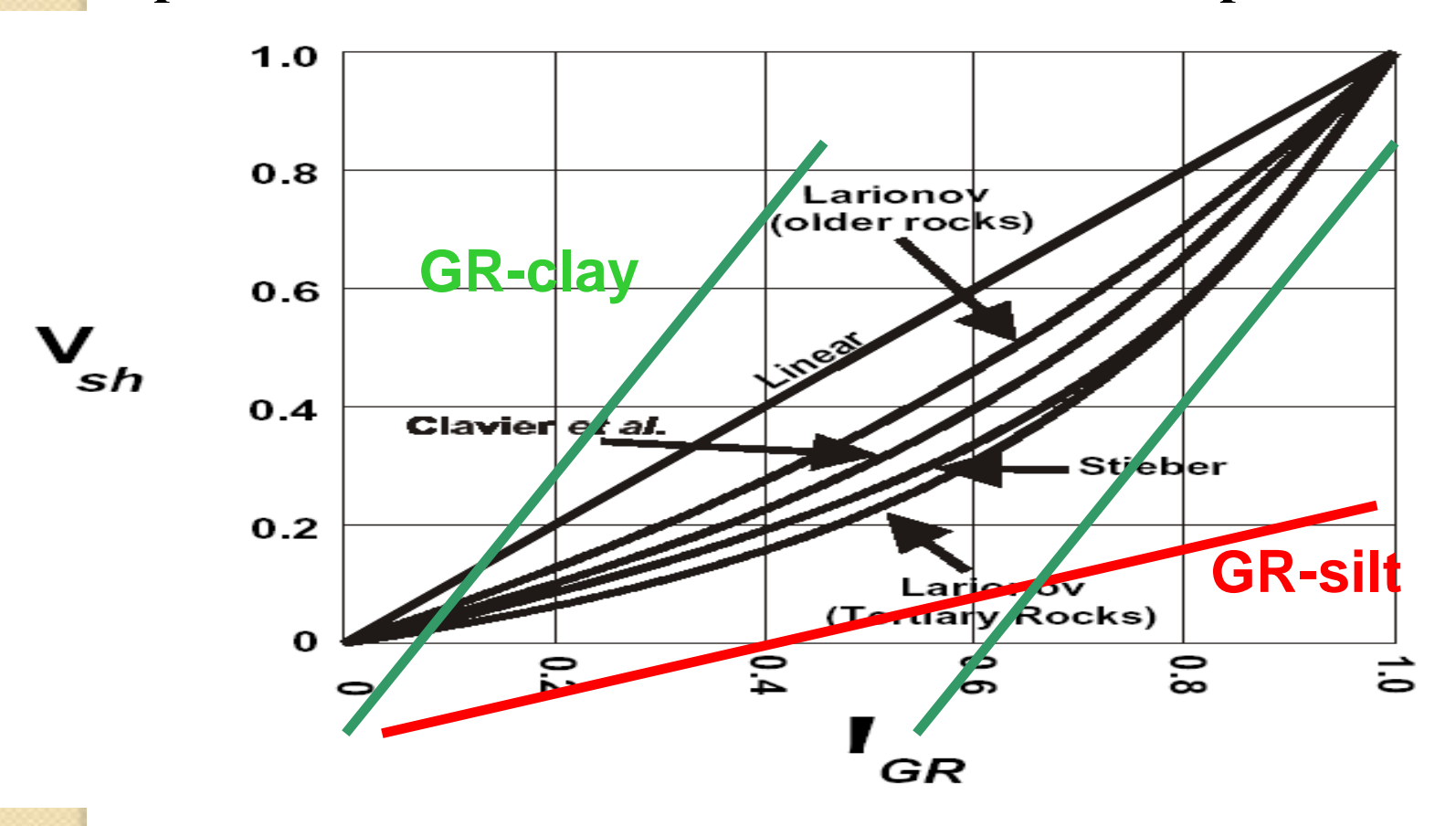


Figure 7.17 Radioactive sand, the 'mica sands' of the North Sea Jurassic. They are fine-grained shallow marine sandstones with perhaps 20% clay but 15 – 30% mica, mainly muscovite, which causes the radioactivity.

Радиоактивность песков,

Линия песка и линия глин определенные по кривой гамма-каротажа. Эти «базовые» линии используются для количественной оценки при каротажах. Они могут быть основой для констант этой зоны.

Определение глинистости по показаниям кривой GR



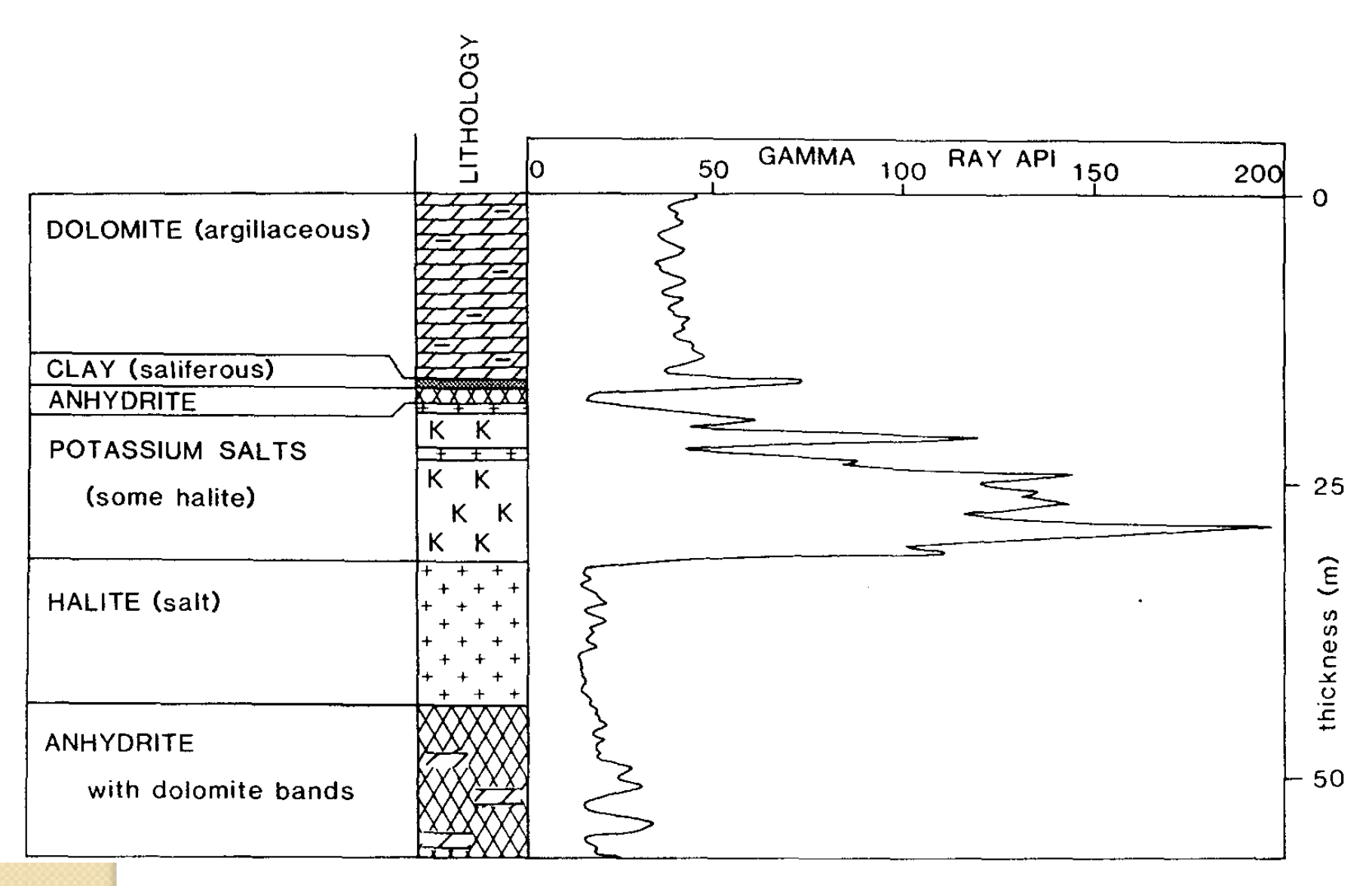
$$I_{gr} = (GR-GR_{cl})/(GR_{sh}-GR_{cl})$$

GR - измеренное гамма-излучение

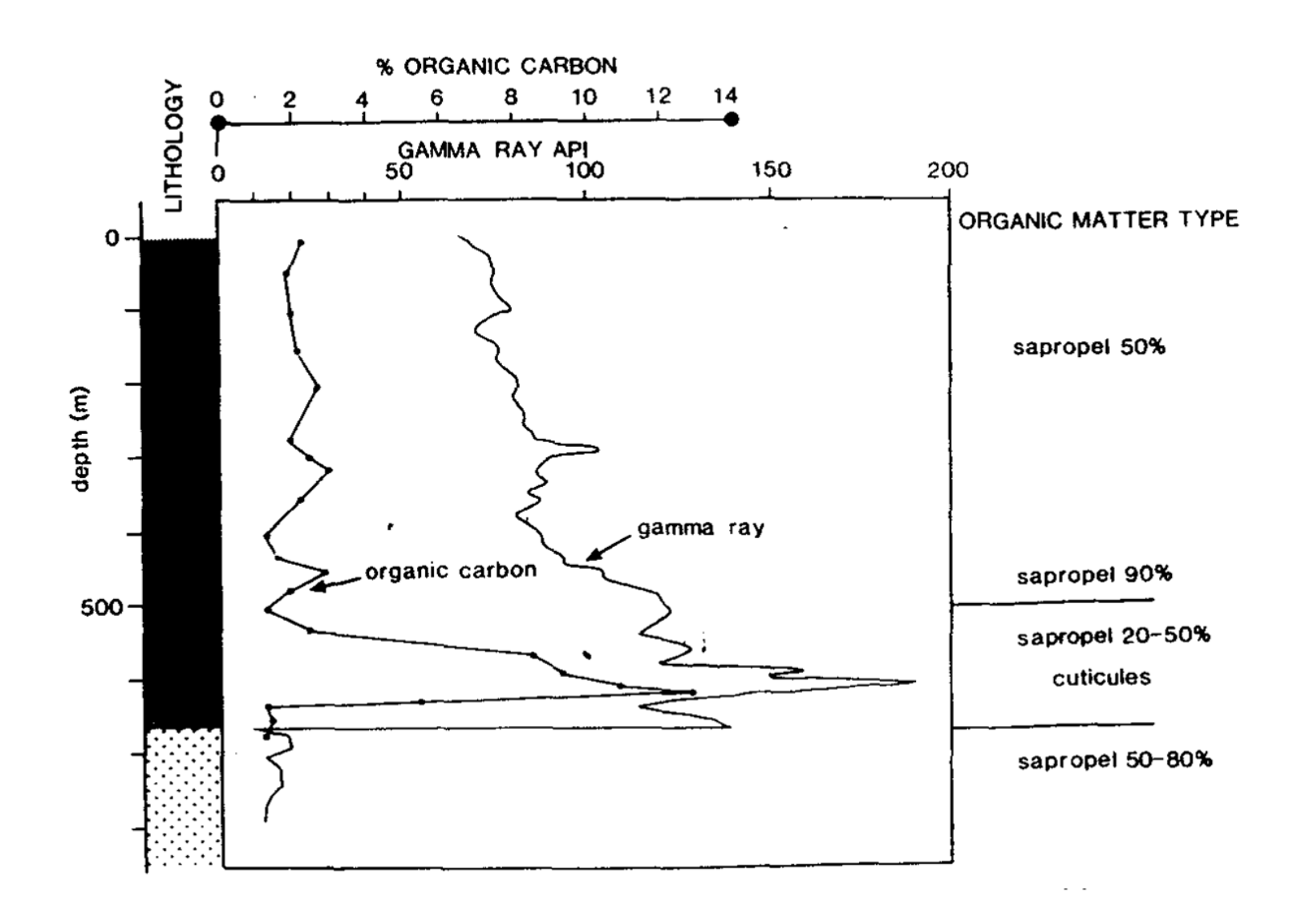
GR_{cl} - гамма-излучение песчаника

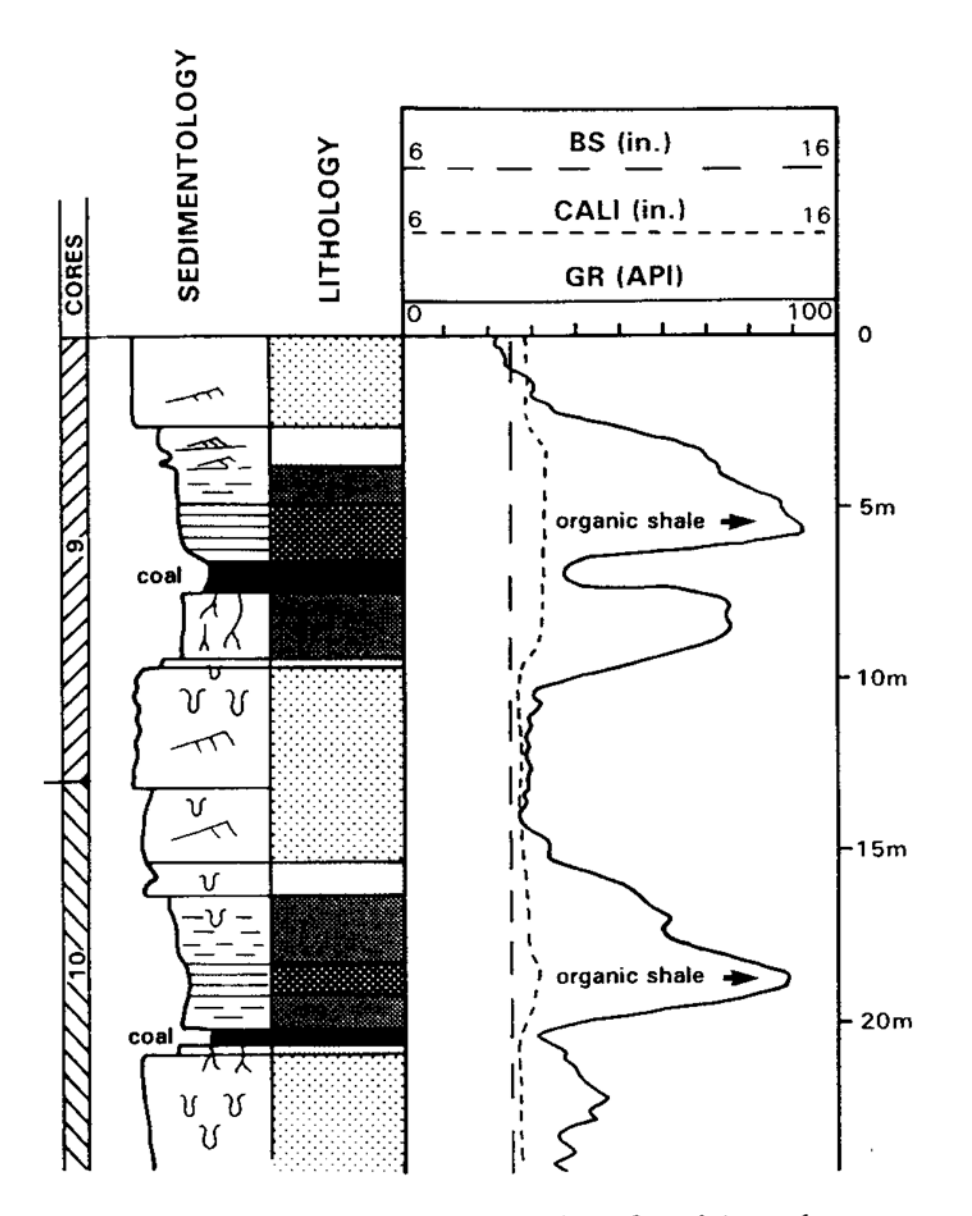
GRsh - гамма-излучение глин

Kалийные соли, дающие очень высокие пики радиоактивности в evaporite



Высоко органические углеродистые соединения и полные гаммалучи, дающие хорошую корреляцию, в этом случае из-за урана, связанного с органическим веществом.





Характеристика гамма-лучей угля (очень низко значения) и органическая богатая глина (очень высоко значения) в дельтообразной последовательности.

Figure 7.23 Gamma ray characteristics of coal (very low values) and organic rich shale (very high values) in a deltaic sequence.

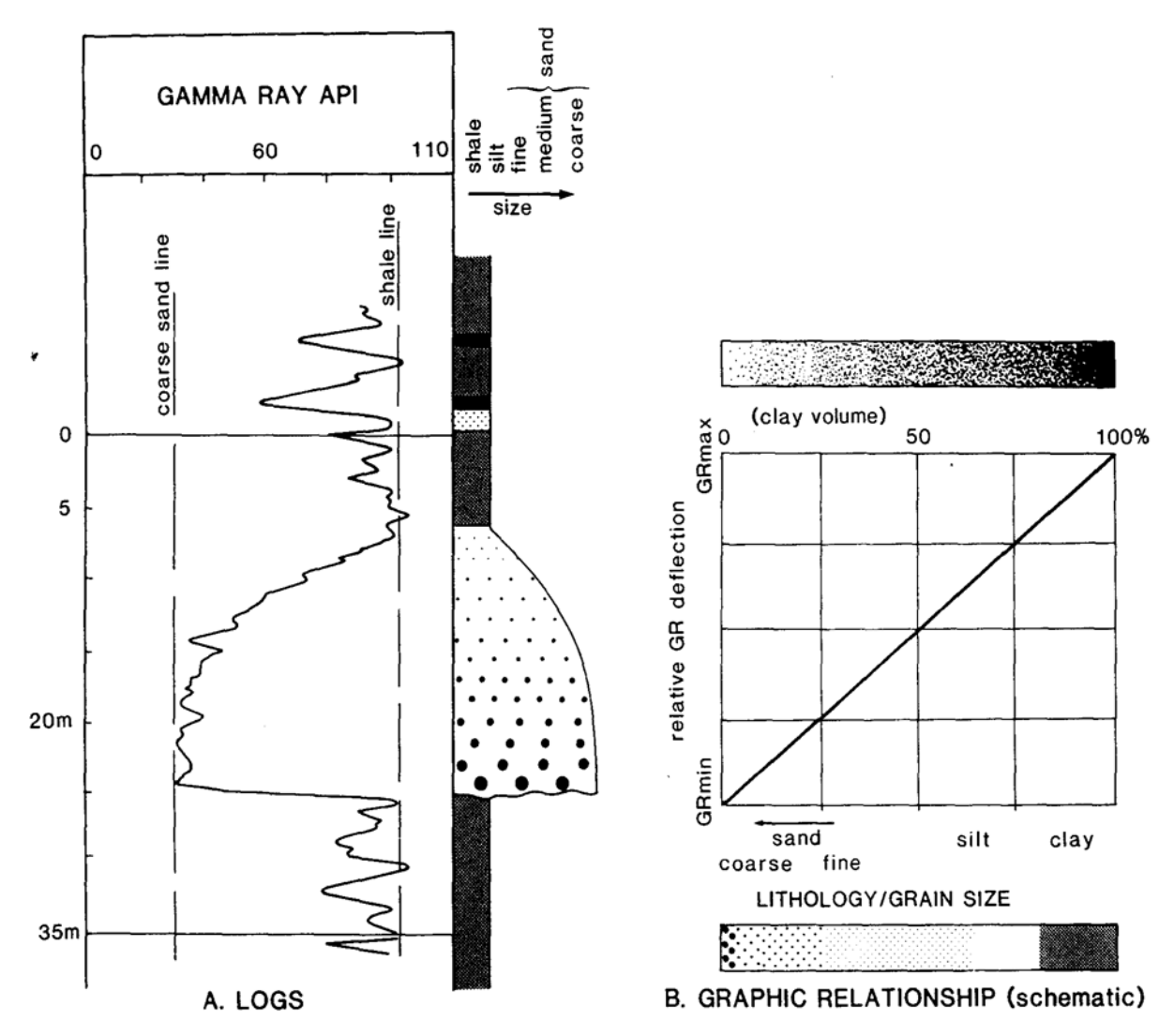
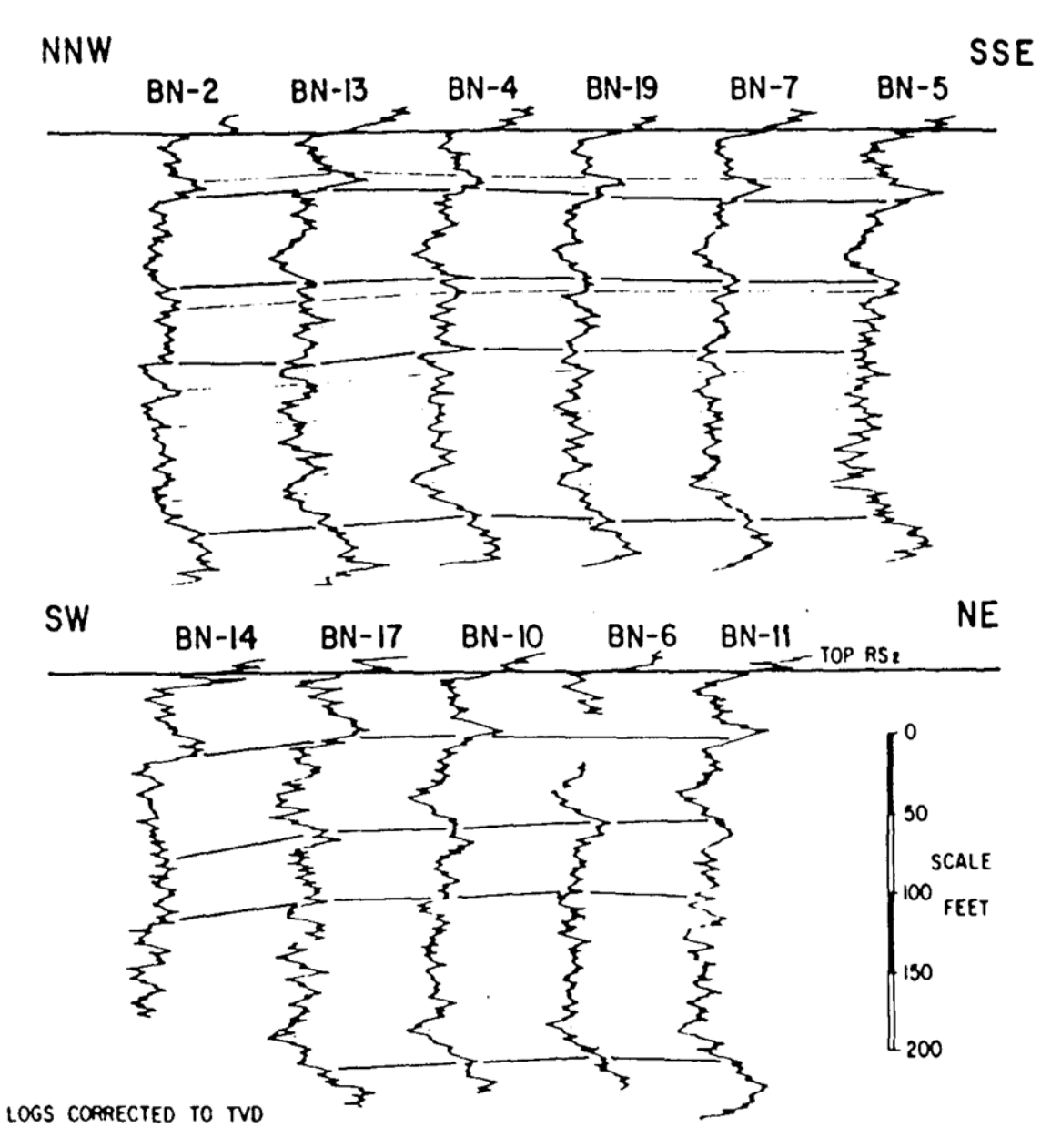


Figure 7.25 Facies from the gamma ray log. (A) The changes in sandstone grain size are reflected in changes in the gamma ray value. This allows a facies to be suggested. (B) Graphic representation of the variation of grain size with gamma ray value. Here it is expressed as a straight line but the relationship is very variable. It should parallel the clay volume change.

Фации по гамма каротажу. (А) изменения в размере зерна песчаника отражены в изменениях в значении гамма-лучей. Это позволяет фациям быть предложенным. (В) Графическое представление изменения (разновидности) размера зерна со значением гаммалучей. Здесь это выражено как прямая линия, но отношения

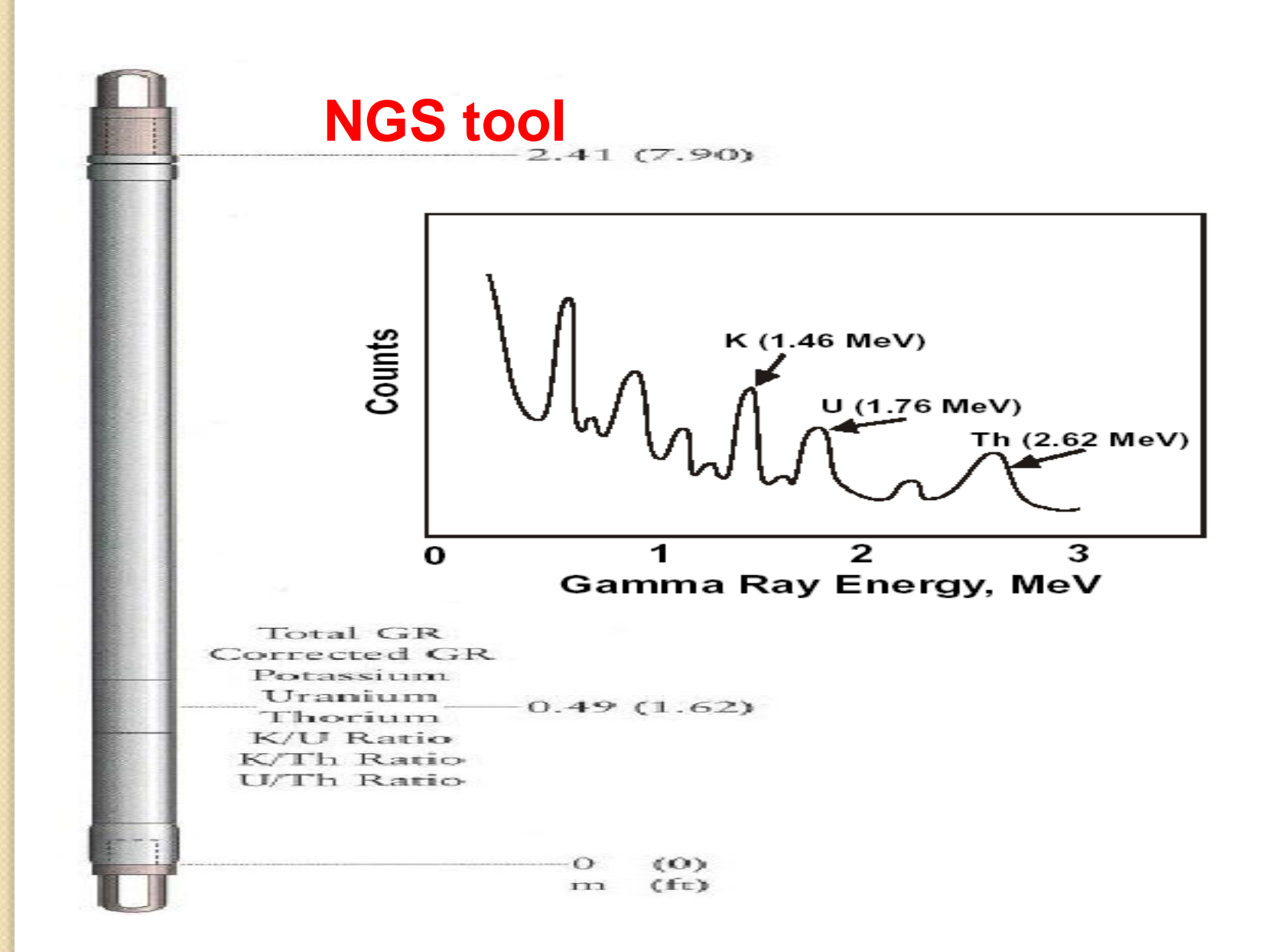
очень переменные.



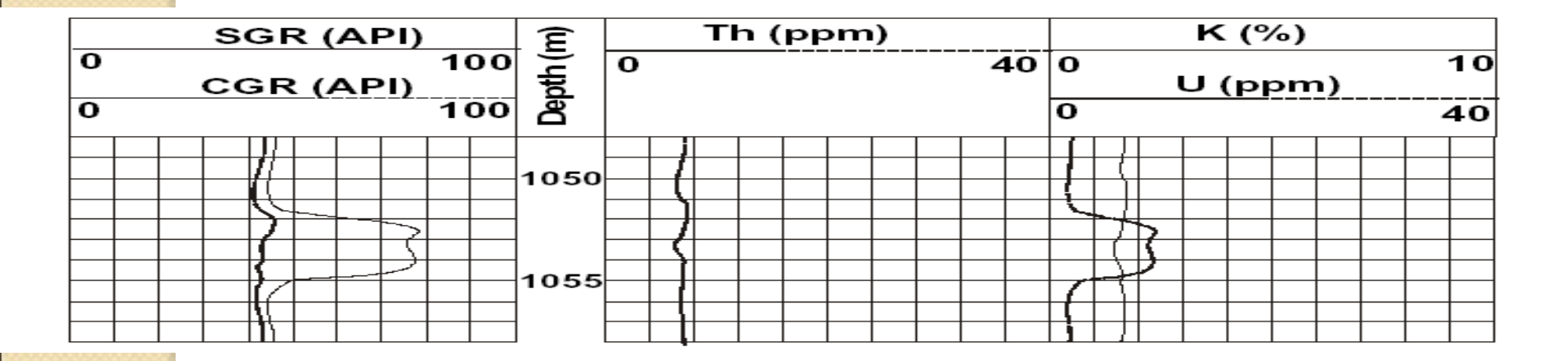
Корреляция, использующая гамма- каротаж. Baronia поле, Sarawak. (От Scherer, 1980).

Figure 7.26 Correlation using the gamma ray log. Baronia field, Sarawak. (From Scherer, 1980).

Гамма-спектрометрический каротаж- более информативный индикатор содержания глин, чем ГК



Пример представления результатов гамма-спектрометрии



SGR- суммарная кривая радиоактивности

CGR = SGR – concentration U (вычисленная гамма активность без учета концентрации урана)

Глубина исследования - около 1 фута (как для GR)

Скорость подъема прибора – 300 м/ч (в 2-3 раза медленнее GR)

Вертикальное разрешение – 1 фут

Поправки за скважину – аналогично GR



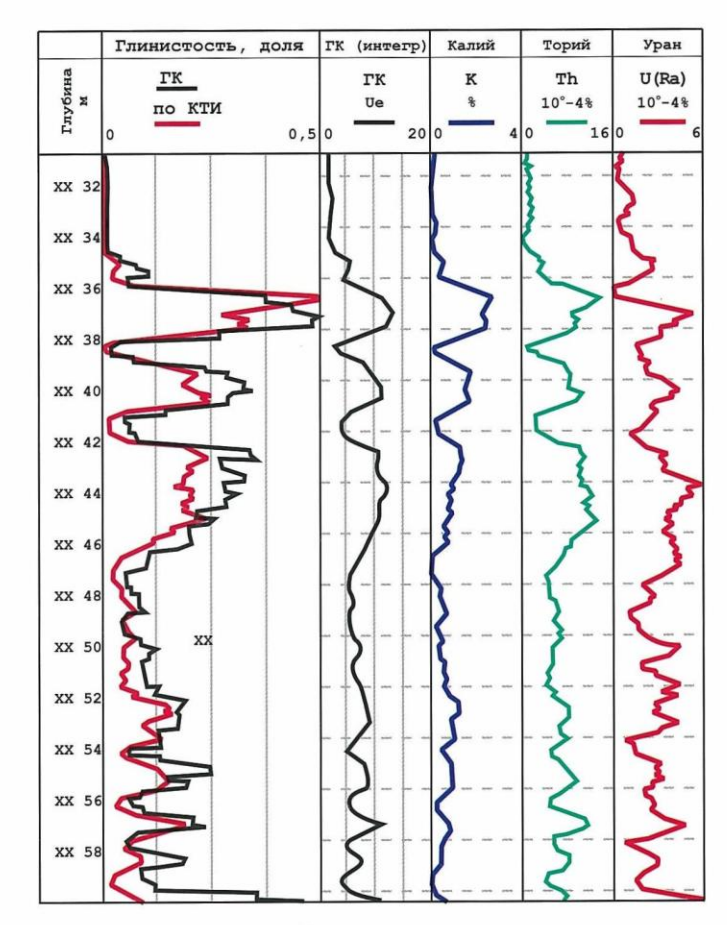
СПЕКТРОМЕТРИЧЕСКИЙ ГАММА-КАРОТАЖ (СГК)

Спектрометрический гамма-каротаж (СГК) позволяет определять в породах концентрации отдельных естественных радиоактивных элементов: К, Th, U(Ra) и, тем самым, резко увеличивает информационные возможности стандартного ГК, расширяет круг решаемых задач, повышает надежность и однозначность геолого-геофизической интерпретации.

Включение СГК в комплекс ГИС существенно повышает его эффективность для решения поисково-разведочных и нефтепромысловых задач, особенно в сложных геологических условиях:

- детального литологического расчленения;
- структурной и стратиграфической корреляции;
- выделения трещиноватых зон и продуктивных интервалов в карбонатных отложениях;
- выделения трещиноватых и нефтеперспективных зон в глинистых сланцах;
- оценки минерально-компонентного состава горных пород (МКСГП) и уточнения коллекторских свойств песчаноглинистых коллекторов, в том числе для:
 - оценки открытой пористости;
- определения общей глинистости, особенно в пластах с повышенной радиоактивностью, которая не подтверждается другими методами, например:
 - в присутствии торийсодержащих минералов;
 - в пластах с большим содержанием органики;
- в пластах с повышенным содержанием калиевых полевых шпатов;
- определения состава глинистых минералов, их ассоциаций, включая разбухающую фазу;
- оценки содержания твердого органического вещества и битумов;
- прогнозирования изменений фильтрационных свойств пласта различных методов интенсификации добычи;
- оценки загрязнений техногенными радионуклеидами и решения других радиоэкологических задач.

Перспективным является использование ГК-С в комплексе с ИНК для оценки текущей нефтенасыщенности пласта.



Основные параметры прибора:

Длина, мм

Энергетический диапазон регистрируемых гамма-квантов: от 50 до 3000 кэВ ГК-С НГК-С от 150 до 8000 кэВ Энергетическое разрешение спектрометрических детекторов по линии Cs¹³⁷: менее 10% ГК-С менее 8% НГК-С Давление, МПа 60 120 Температура, °С Диаметр, мм 90

3500

Каротаж гамма-лучей и спектральный каротаж гамма-лучей:

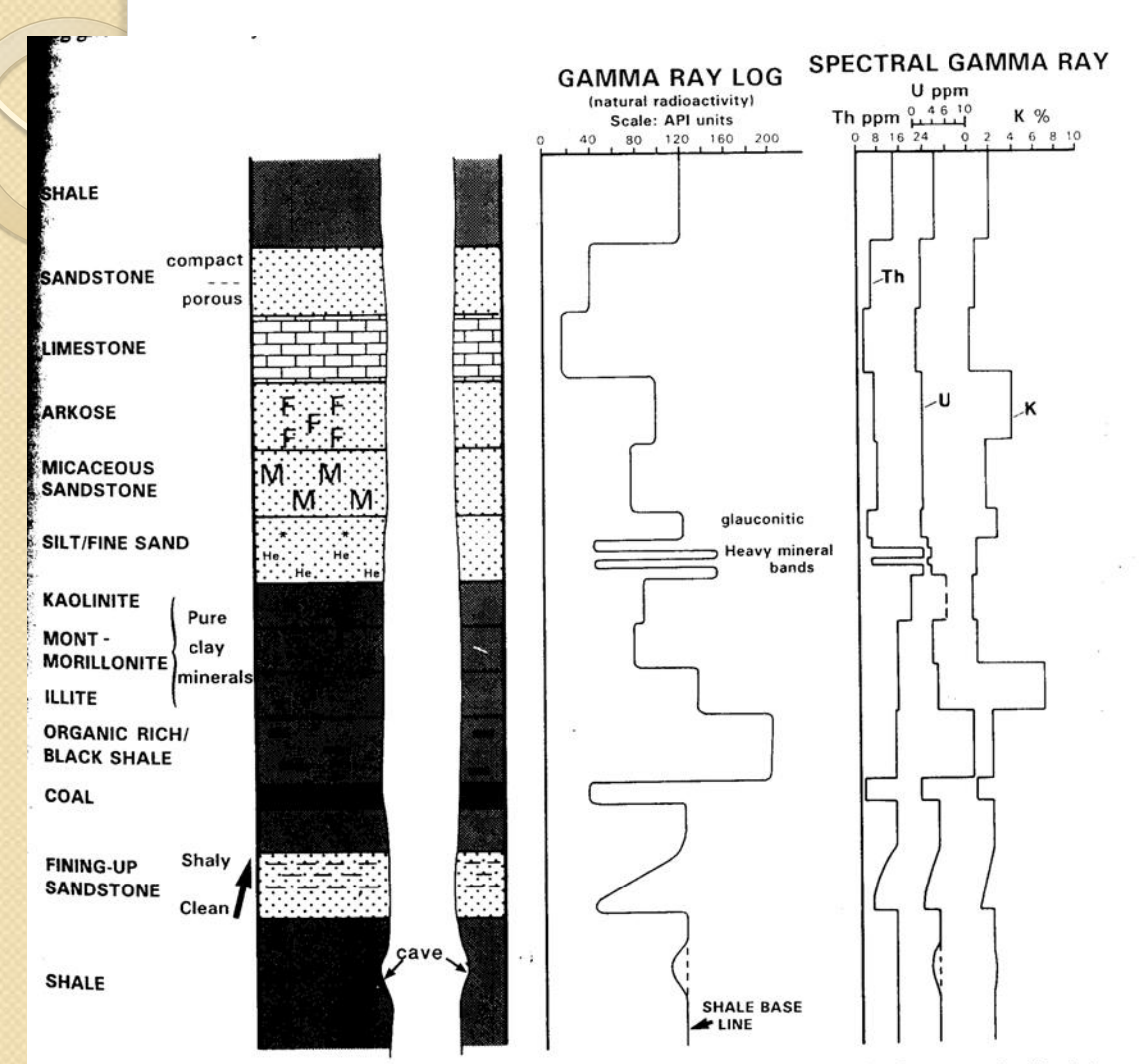
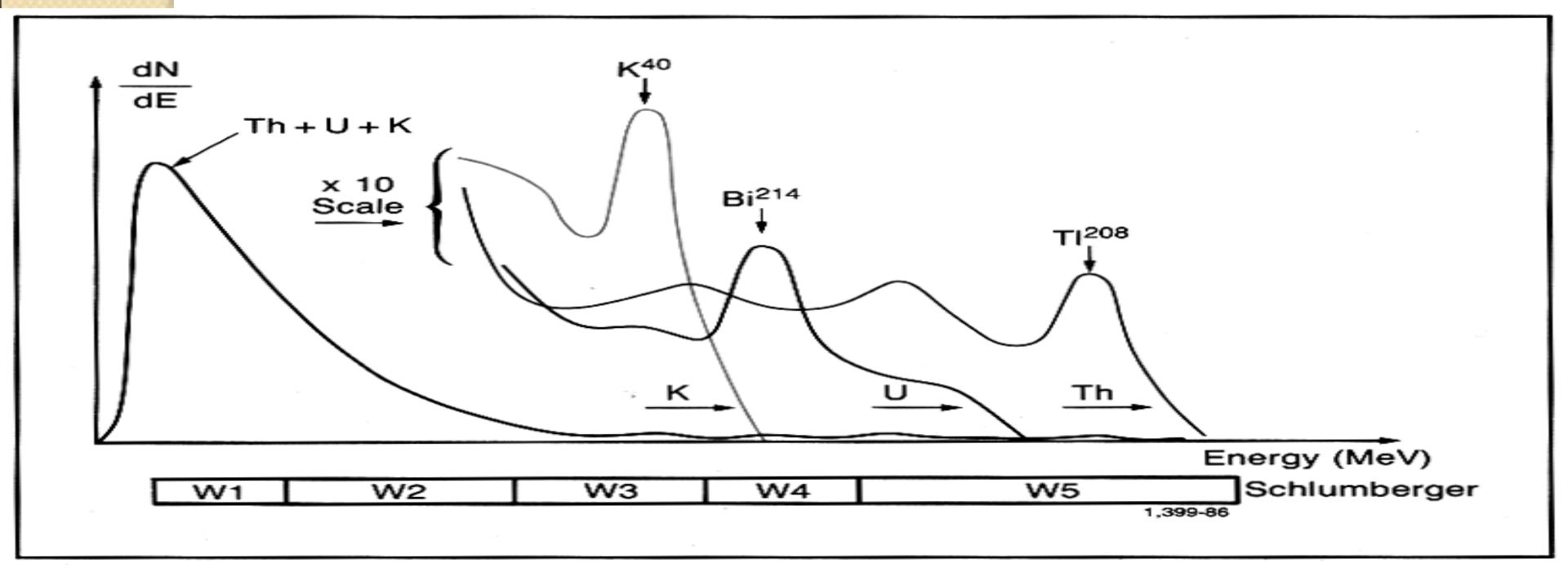


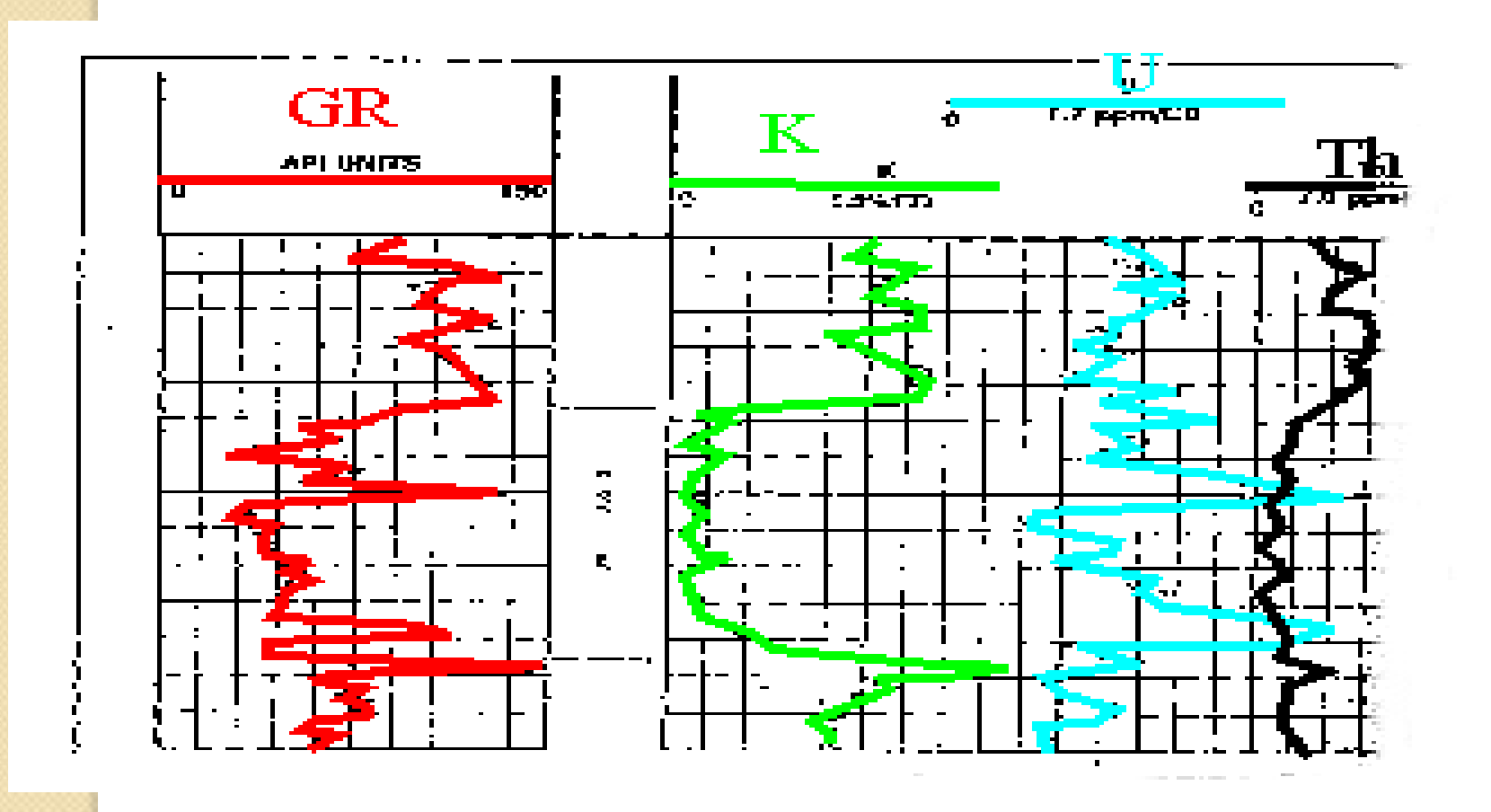
Figure 7.1 The gamma ray log and spectral gamma ray log: some typical responses. The gamma ray log shows natural radioactivity. The spectral gamma ray log gives the abundances of the naturally radioactive elements, thorium, Th and uranium, U in parts per million (ppm) and potassium, K in %. F - feldspar, M = mica, * = glauconite.

Каротаж гамма-лучей показывает естественную радиоактивность. Спектральный каротаж гамма-лучей дает содержание естественно радиоактивных элементов: тория, Тh и урана, U в частях в миллион (ppm) и калий, Кв %. F - полевые шпаты, M = слюда, * = глауконит.

Potassium, Thorium, and Uranium Response Curves

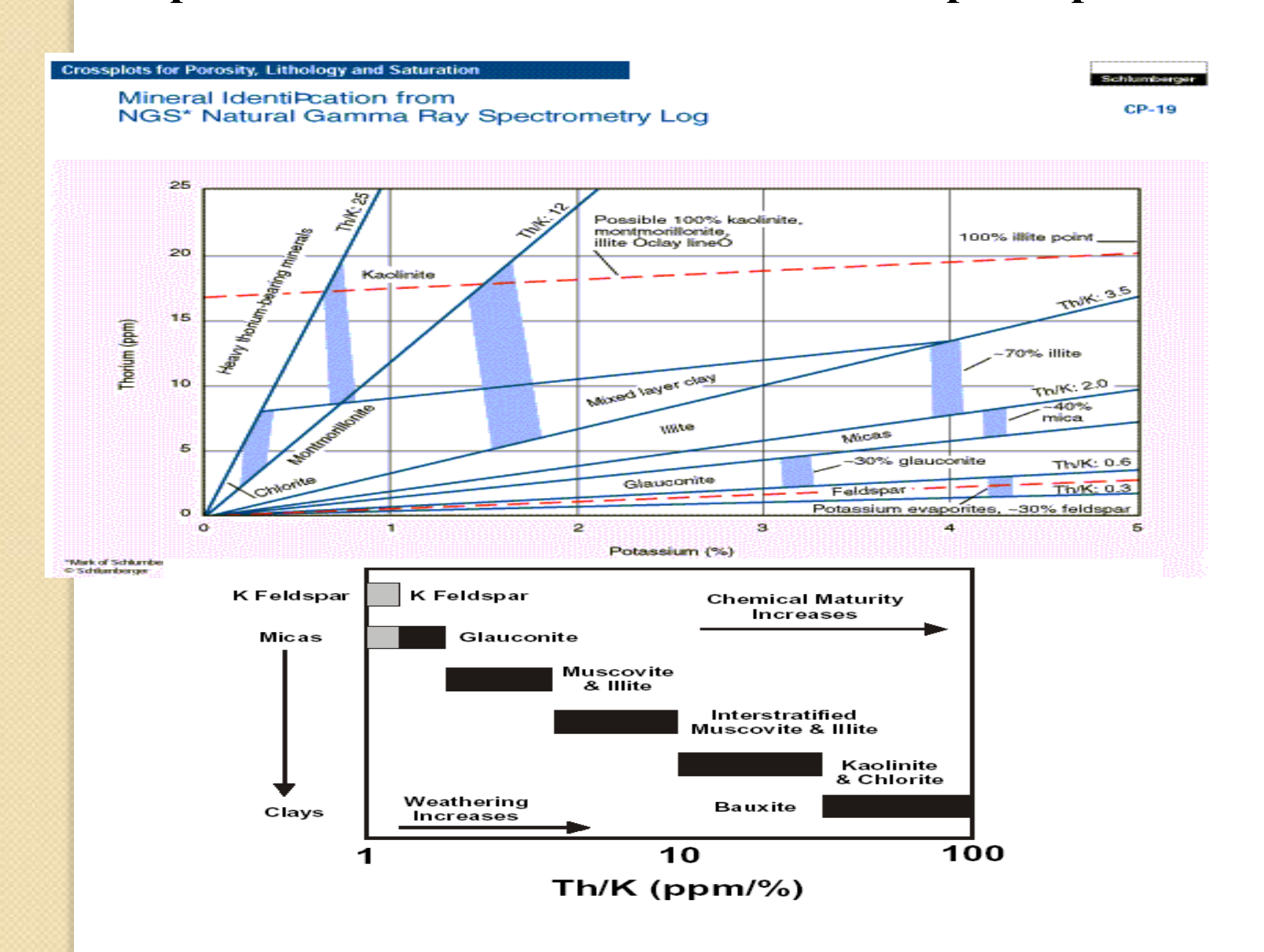


Spectral GR log. Alberta



Один проницаемый пласт, по GR можно выделить три.

Определение типа глин по гамма-спектрометрии



Выводы

- 1. Минимальной радиоактивностью обладают известняки, несколько большей доломиты, песчаники обычно еще более радиоактивны, самые радиоактивные среди осадочных пород глины
- 2 GR применяется для определения глинистости и корреляции, для увязки каротажных кривых

корреляции, для увязки каротажных кривых
$$I = \frac{GR - GRclean}{GRshale - GRclean}$$

- 4 Гамма-спектрометрия применяется для определения типа глин и их природы, определения условий осадконакопления и выделения несогласий. (Th/K отношение стабильно в последовательном накоплении осадков)
- 5.Измерения проводятся в единицах АРІ
- 6. Основные источники радиоактивности K^{40} , Th^{232} , U^{238} .
- 7 Глубинность метода 30 см, разрешающая способность 90 см.

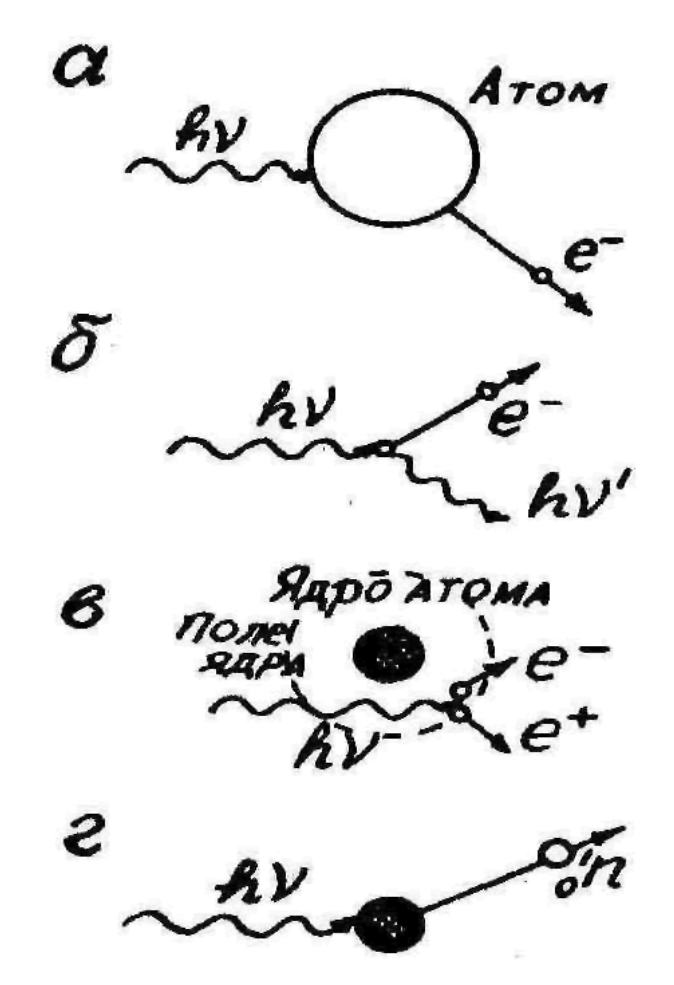
Гамма-гамма-каротаж

- Заключается в облучении горных пород γ -квантами искусственного источника и измерении рассеянного γ -излучения.
- Скважинный снаряд дополняется источником у-квантов.
- Источник цезия используется в нескольких снарядах Schlumberger для подсчета объемной плотности горной породы.
- Цезий **137** самопроизвольно испускает бета и гамма радиации высокой энергии.



Вероятность появления каждого из них определяется энергетическим уровнем гамма излучения

- Фотооглощение (фотоэффект) заключается в поглощении γ -кванта атомом вещества, его энергия уходит на отрыв от атома электрона и сообщение последнему импульса энергии (а). Атом остается возбужденным и переходит в нормальное состояние, испуская фотон рентгеновского излучения.
- Комптон-эффект) это неупругое рассеяние γ -квантов на электронах вещества, в результате которого γ квант теряет часть своей энергии и меняет направление движения (рис. 6). Наблюдается комптон-эффект при более высоких энергиях, условно можно считать Ey > 0,5 МэВ.
- Образование пар (рождение пар) происходит при взаимодействии ү кванта с полем ядра атома, ү -квант прекращает свое существование, вместо него образуется пара: электрон и позитрон (в).



Механизм

Заключается в поглощении у -кванта атомом вещества, его энергия уходит на отрыв от атома электрона и сообщение последнему импульса энергии. Атом остается возбужденным и переходит в нормальное состояние, испуская фотон рентгеновского излучения.

Условия протекания

• Наблюдается при самых малых энергиях γ -квантов. Условно можно считать E_{ν} <0,5 МэВ.

Вероятность протекания

$$\tau_{\phi} = c \cdot \frac{z_{3\phi}^4}{E_{\gamma}^m},$$

Механизм

 Неупругое рассеяние ү -квантов на электронах вещества, в результате которого ү -квант теряет часть своей энергии и меняет направление движения

Compton Scattering

Условия протекания

• Наблюдается при более высоких энергиях, условно можно считать $E_y > 0.5$ МэВ.

Вероятность протекания

$$\tau_{\kappa} = \sigma_{\kappa} \cdot n_{e} = \sigma_{\kappa} \frac{N_{0} \rho \cdot z}{A},$$

Аппаратура ГГК устроена так же, как и аппаратура ГК, но скважинный снаряд дополняется источником у-квантов.

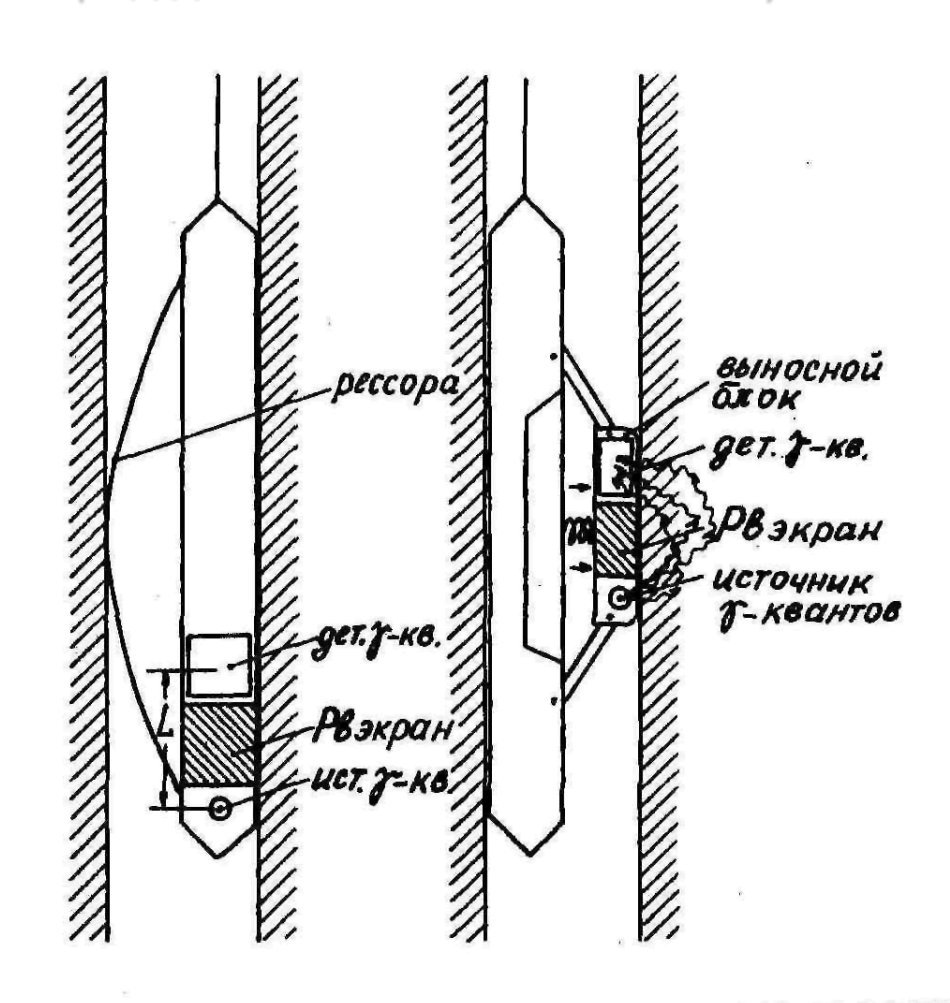


Рис. 12.4. Устройство скважинных снарядов для гамма-гамма-каротажа

Область применения ГГК



Плотностной гамма-гамма-каротаж (ГГК-П) FORMATION DENSITY LOG

- Плотностной гамма-гамма-каротаж (ГГК-П) основан на изучении комптоновского рассеяния **ү** -квантов в горных породах.
- Поскольку этот эффект наблюдается при достаточно высокой энергии γ -квантов, то в ГГК-П используют источники с энергией *Ey* > 0,5 МэВ. Такими источниками являются искусственные изотопы
- Co6°(Ey =1,17 МэВ и 1,33МэВ), Сs137 (Ey =0,66 МэВ) и естественный
- EPЭ *Ra226*, который дает целый спектр γ -квантов с энергиями от 0,35 до 1,76 МэВ. Длина зондов от 20 до 50 см.
- *Область применения.* ГГК-П находит применение при исследовании нефтяных и газовых, углеразведочных и рудных скважин.
- На нефтяных и газовых месторождениях ГГК-П применяют для дифференциации разрезов скважин по плотности и для определения пористости пород-коллекторов. Как известно, плотность породы σп, и коэффициент пористости *Кп* связаны функциональной зависимостью

$$\sigma_n = (1 - K_n) \cdot \sigma_{c\kappa} + K_n \cdot \sigma_{\kappa}$$

Одна из характеристик лучей гаммы - то, что, когда они проходят через любой материал, их энергия прогрессивно поглощается .

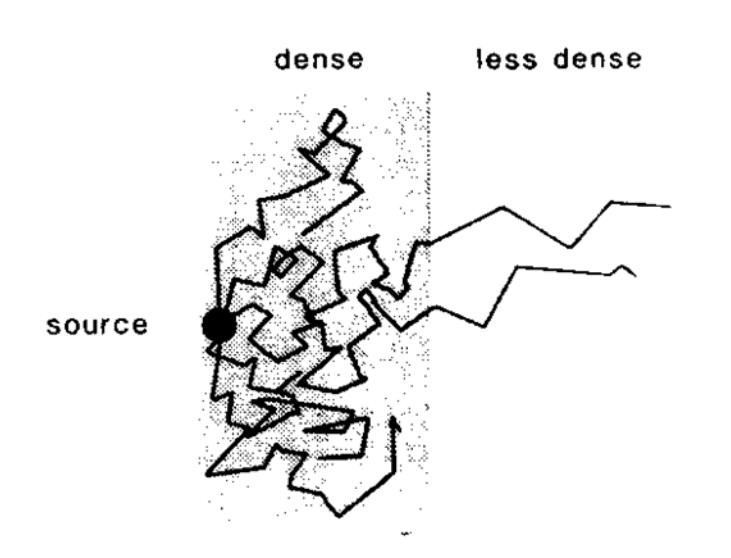


Figure 7.3 Schematic drawing of the Compton scattering of gamma rays. The effect is more marked in denser matter (cf. Lavenda, 1985).

Эффект, известный как рассеивание Комптона, из-за столкновения между гамма-лучами и электронами, которые вызывают снижение энергии. Чем выше общая плотность, через которую проходят гамма- лучи, тем более быстрая потеря энергии.

В действительности она зависит от электронной плотности материала, которая является очень близкой к общей плотности.

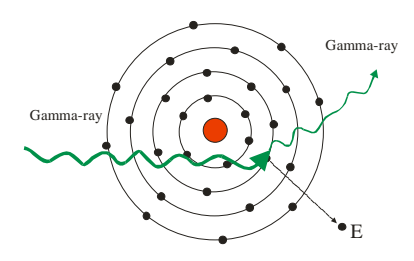
The formation density log

Измеряется общая плотность.

Цель – вычисление пористости,

Выделение газонасыщенных интервалов.

Комптон эффект



Процесс является преобладающим при высокой энергии гамма квантов 0.5-3 МэВ Комптоновское рассеяние - основной вид взаимодействия при определении плотности.

Плотностной метод

 Использует гамма-лучи для измерения общей плотности пород в г /см³

 Плотность осадочных пород меняется в диапазоне 2-3 г /см³

- В основном флюиды имеют меньшую плотность между 0.2 и 1.0 г /см³
- Используется для определения пористости и литологии

Плотностная модификация (RHOB)

Величина измеряемого гамма-излучения определяется в основном электронной плотностью среды., окружающей прибор, и не зависит от изменений ее вещественного состава.

В единице объема вещества количество электронов составляет:

$$Ne = N * \frac{Z}{A} * pb$$

N-число Авогадро (6.02*10²³)

Z-заряд ядра

А-атомный вес

рb-плотность вещества

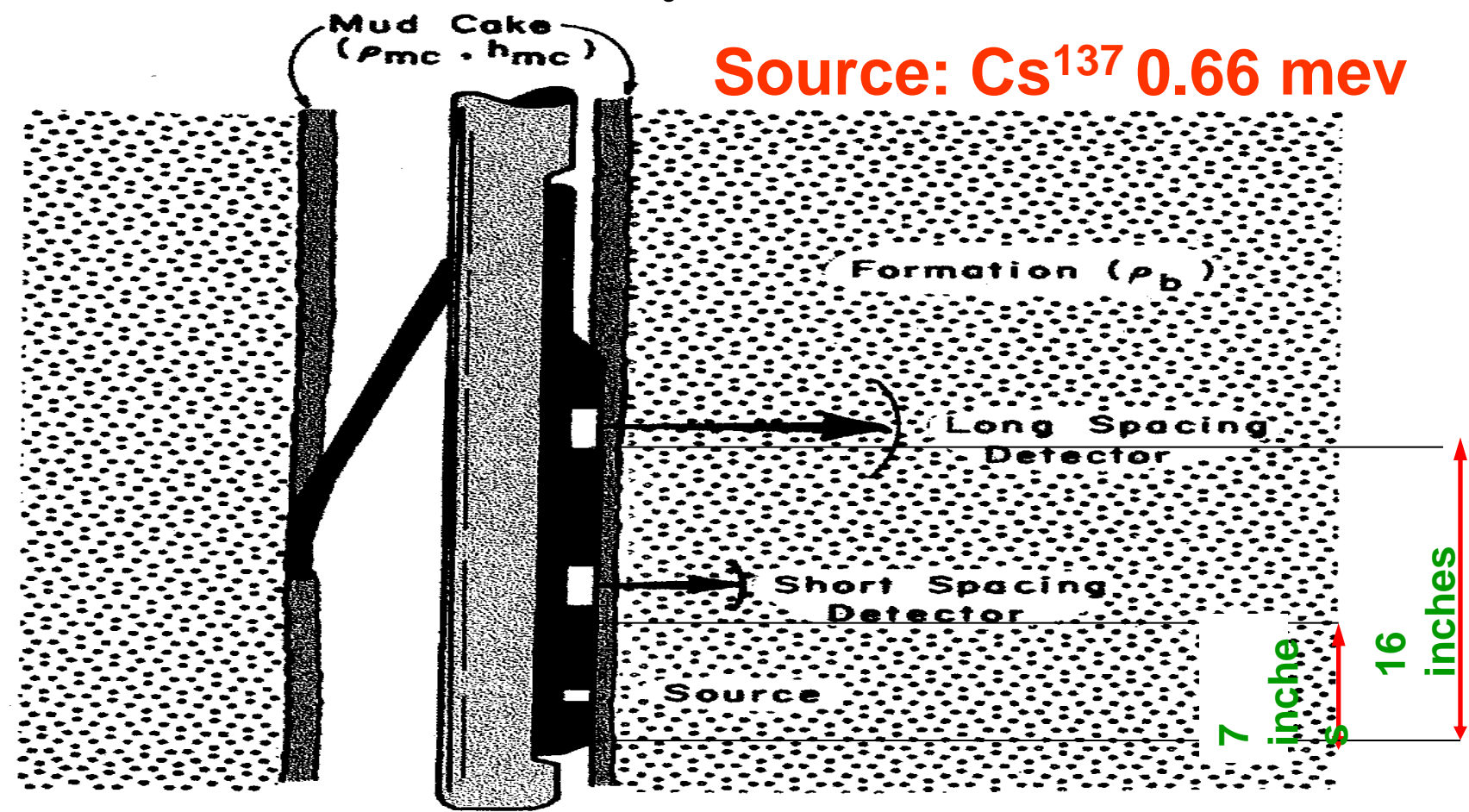
Для элементов, составляющих горные породы, отношение 2Z/A (Z<30) является достаточно постоянным и практически равно 1 Соответственно, число электронов в единице объема пропорционально плотности среды. Исключение составляет водород (2Z/A=1,98)

$$pe = \frac{2Ne}{N} \qquad pe = pb * \frac{2Z}{A}$$

ре-электронная плотность

Чем больше плотность – тем больше рассеяние.

Схема прибора FDC (Compensated formation density tool - FDC)

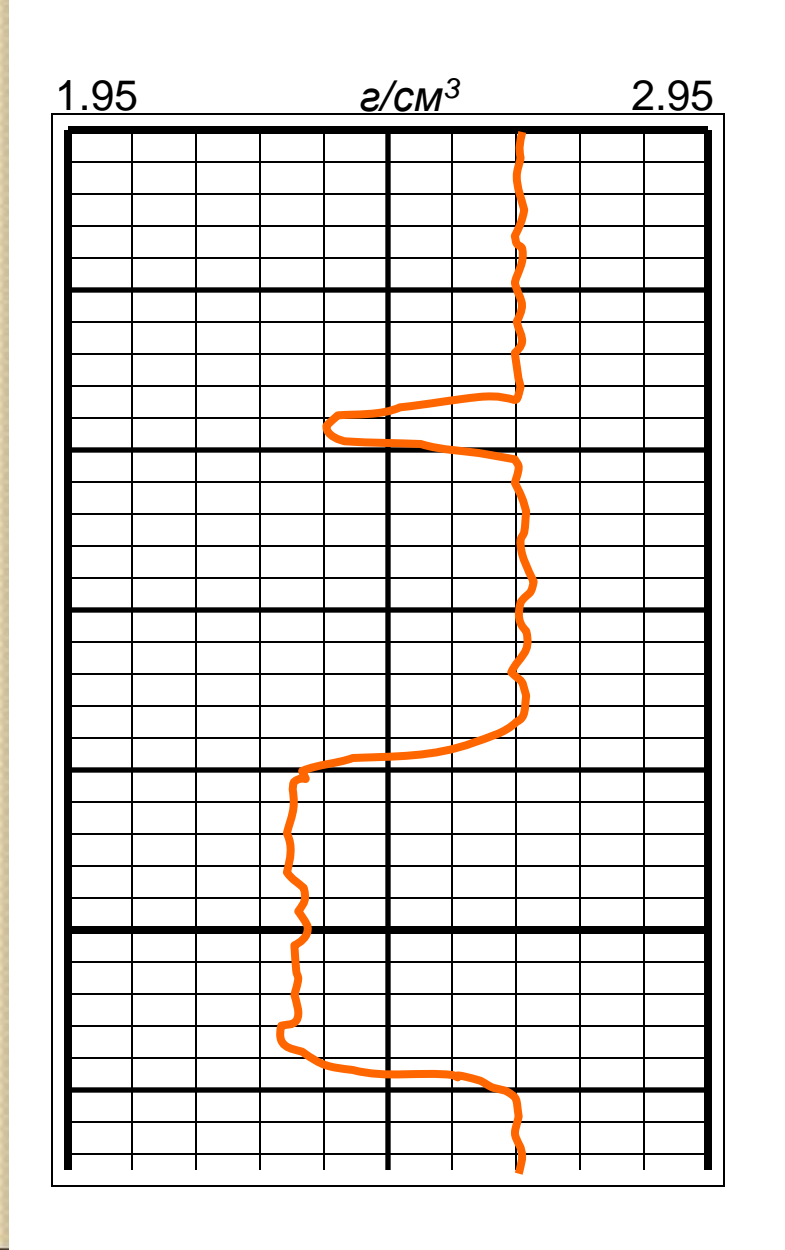


Глубина исследования - около 13 см (5 дюймов)

Скорость исследования - 500 м/ч

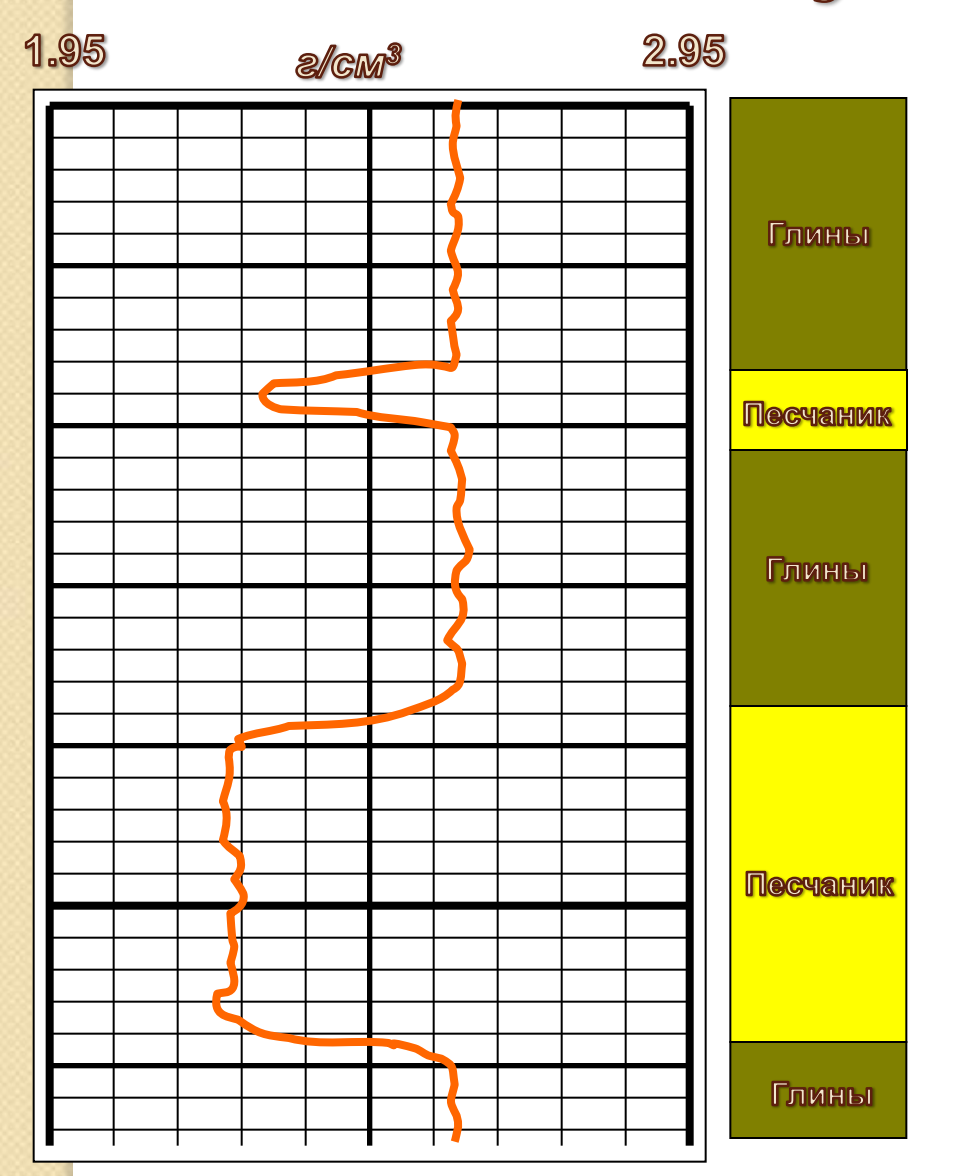
Вертикальное разрешение - 26 см (10 дюймов)

Плотностной метод





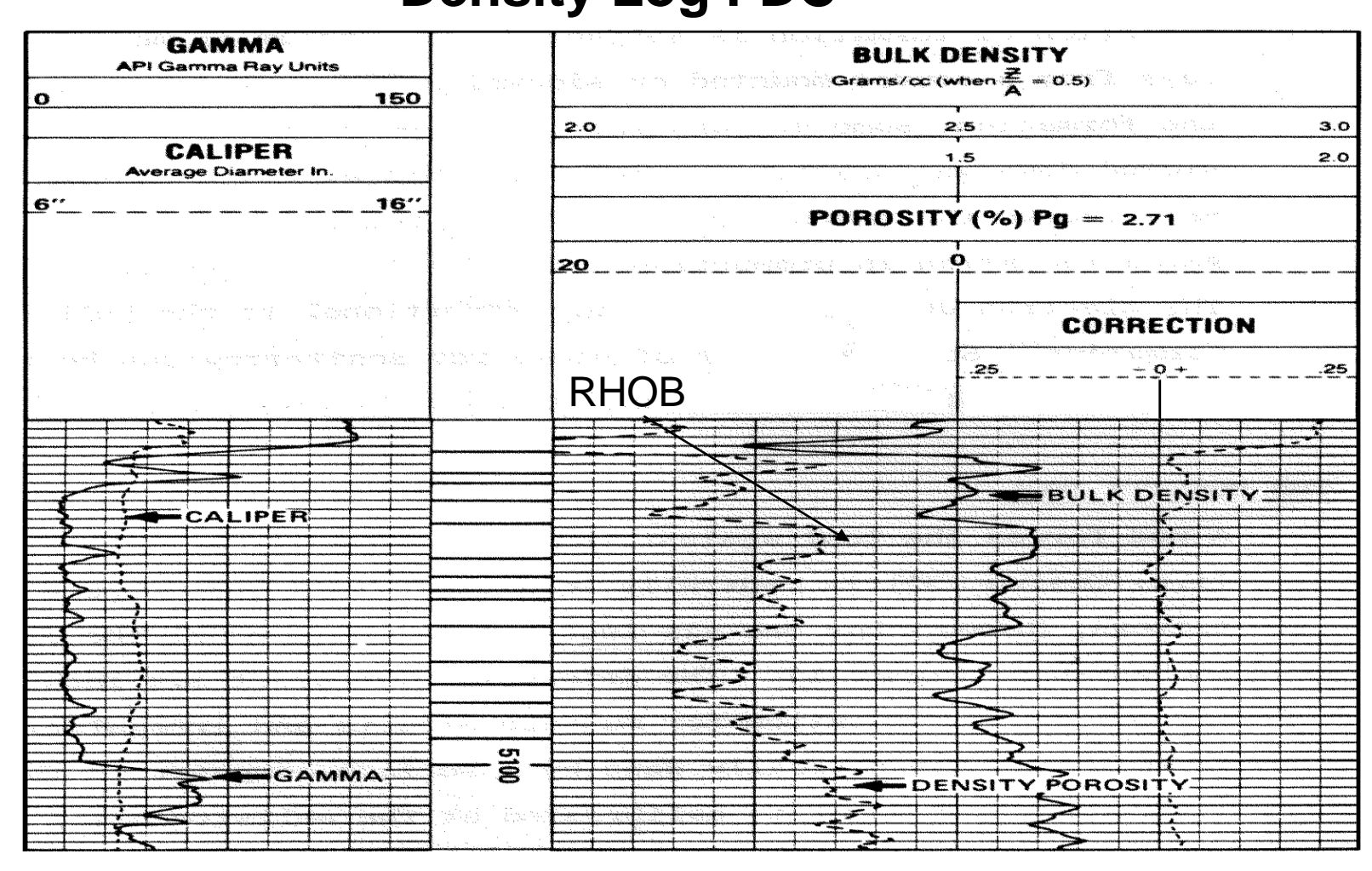
Пористость по плотностному методу



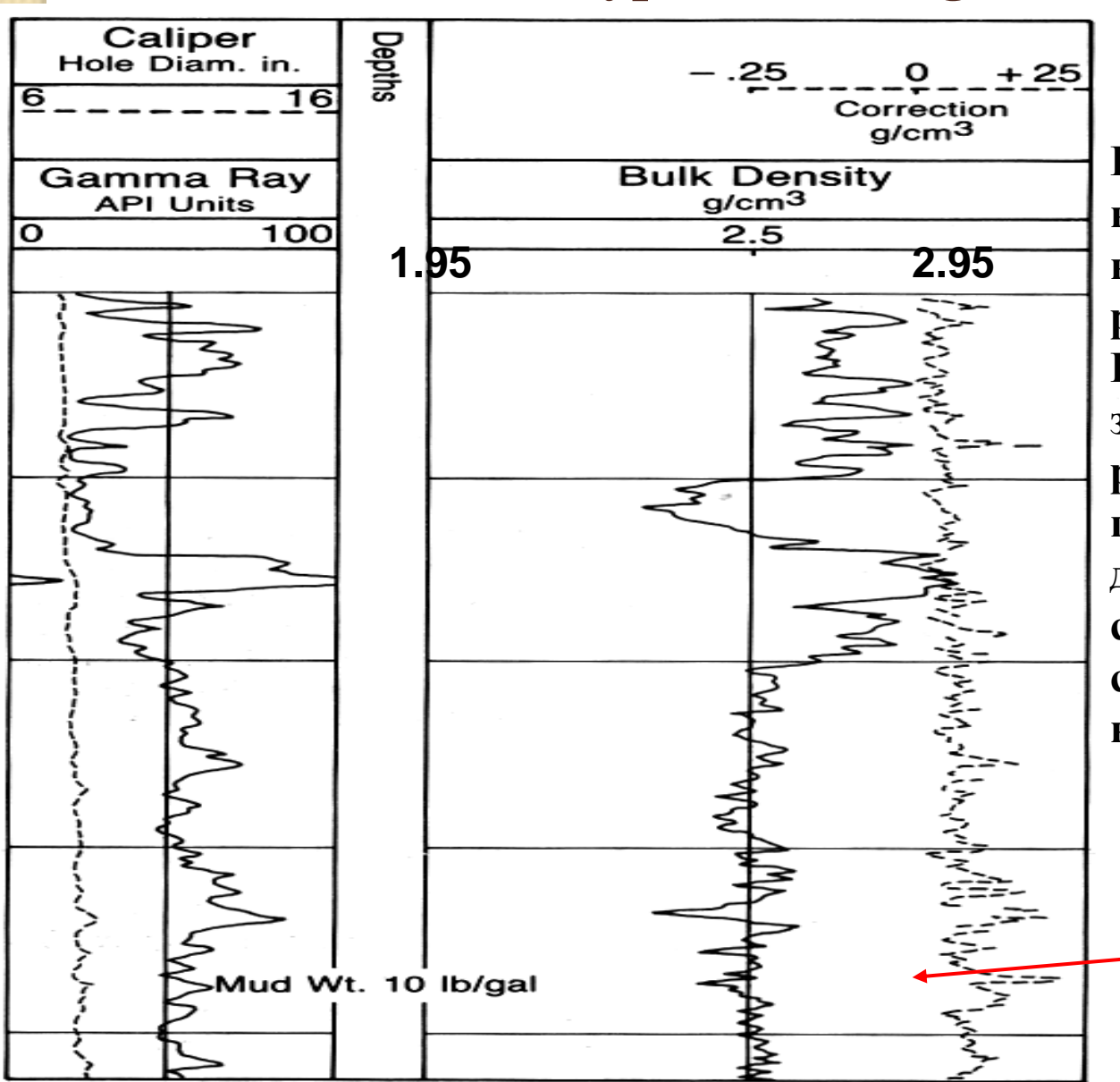
Объем флюида x Плотность Флюида + Объем породы x Плотность Породы

Плотность песчаника = 2.65
Плотность воды = 1.0

Пример диаграммы плотностного каротажа Density Log FDC



Typical FDC log



На треке присутствует кривая Δρ Она контролирует качество регистрируемой кривой Качество кривой зависит от равномерности прижима ближнего и дальнего детектора. В скважине с ровными стенками отклонения кривой Δρ равны нулю.

 $-.25 \Delta \rho +.25$

Сравнительная характеристика истинной плотности и плотности, полученной по прибору

| Compound | Composition | Actual Bulk Density, <i>ρ_b</i> | 2 Z/A | Effective Electron Density, \$\rho_e\$ | Apparent Bulk Density, <i>Ρ</i> _a |
|--|---|---|---|---|---|
| Quartz Calcite Dolomite Anhydrite Sylvite Halite Gypsum Anthracite (low) Anthracite (high) Coal (Bituminous) | SiO ₂ CaCO ₃ CaCO ₃ .MgCO ₃ CaSO ₄ KCL NaCl CaSO ₄ .2H ₂ O | 2.654 2.710 2.870 2.960 1.984 2.165 2.320 1.400 1.800 1.200 1.500 | 0.9985 0.9991 0.9977 0.9990 0.9657 0.9581 1.0222 1.030 1.030 1.060 | 2.650 2.708 2.863 2.957 1.916 2.074 2.372 1.442 1.852 1.272 1.590 | 2.648 2.710 2.876 2.977 1.863 2.032 2.351 1.355 1.796 1.173 1.514 |
| Pure Water Salt Water Oil Methane Gas | H ₂ O 200,000 ppm NaCl (CH ₂) _n CH ₄ C _{1.1} H _{4.2} | 1.000 1.146 0.850 ρ_m | 1.1101 1.0797 1.1407 1.247 1.238 | 1.110 1.237 0.970 1.247 ρ_m 1.238 ρ_g | 1.000 1.135 0.850 $1.335\rho_{m}$ 0.188 $1.325\rho_{g}$ 0.188 |

 $P_a = 1.07 * p_e - 0.188$

Р_а – Кажущаяся плотность (показания прибора)

Р_а откалибровано на матрице, насыщенной водой. Плотности точно известны

Определение пористости по данным FDC

$$pb = (\phi)^*(pf) + (1-\phi)^*(pma)$$

$$\phi = \frac{pma - pb}{pma - pf}$$

pb=Плотность породы (по каротажу)

pf=Плотность жидкости, заполняющей поровое пространство

Ø=Пористость

(1- Ø)=Объем матрицы горной породы

Р=плотность матрицы горной породы

Плотность матрицы

Обычно принимается равной: (в г/см³)

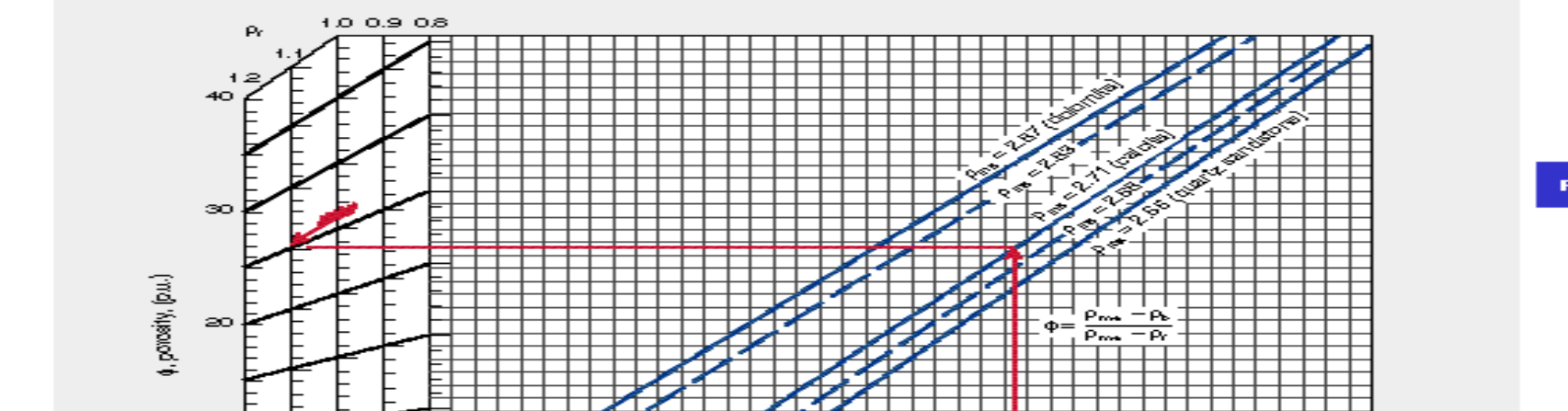
Sandstone 2.65

Limestone 2.71

Dolomite 2.87

10

Mutate of Galdaniberger On Galdaniberger 2.0



ρ_s, bulk density (g/cm²)

Bulk density, ρ_b , as recorded with the FDC * Compensated Formation Density or Litho-Density * logs, is converted to porosity with this chart. To use, enter bulk density, corrected for borehole size, in abscissa; go to the appropriate reservoir rock type and read-porosity on the appropriate fluid density, ρ_{\star} scale in ordinate. (ρ_{\star} is the density of the fluid saturating the rock immediately surrounding the borehole—usually mud filtrate.)

Formation Density Log Determination of Porosity

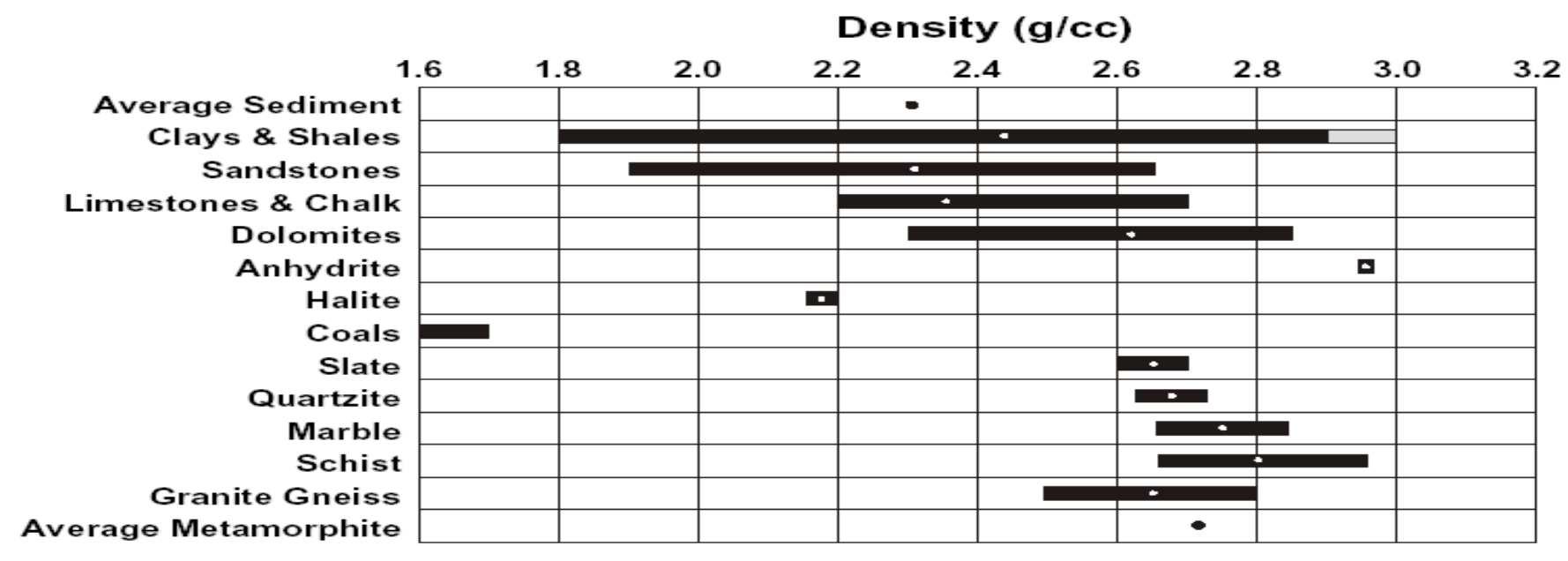
Example: $\rho_b = 2.31 \text{ g/cm}^3$ in limestone lithology $\rho_{ma} = 2.71 \text{ (calcite)}$ $\rho_{\pi} = 1.1 \text{ (salt mud)}$

2.31

2.2

Therefore, $\phi_D = 25 \text{ p.u.}$

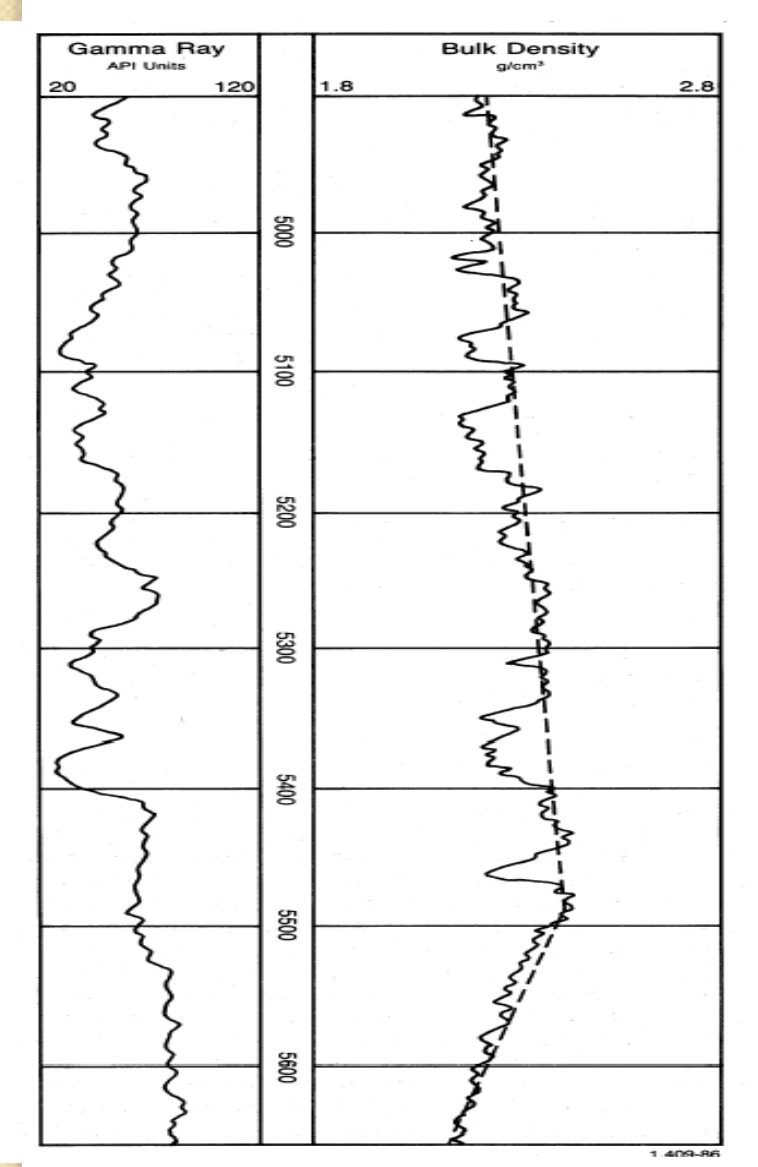
Плотность литологических разностей может меняться в широких пределах

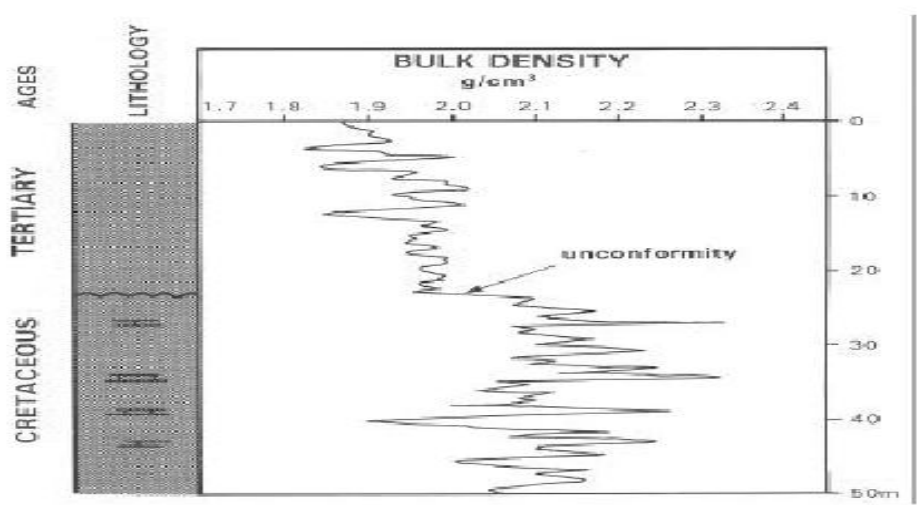


Mean Apparent Dry Bulk Density

В глинистых коллекторах необходимо учитывать плотность и объем глин для точного определения пористости.

$$(\rho_b)_{corr} = (\rho_b)_{clean} (1 - V_{sh}) + (\rho_b)_{shale} V_{sh}$$





Возможно выделение несогласий

С помощью density log возможно выделение зон АВПД

Применение ГГК-П

На нефтяных и газовых месторождениях

для дифференциации разрезов скважин по плотности для определения пористости пород-коллекторов при цементометрии эксплуатационных скважин

На угольных и рудных месторождениях

Для выделения продуктивных интервалов

The formation density log Выводы

Основное назначение – определение пористости

Основной принцип – Комптоновское рассеяние. Электронная плотность пропорциональна объемной. Малая глубина исследования (до 13 см)

Необходимо точно знать плотность матрицы и флюида, если коллектор глинистый - плотность глин.

Sandstone 2.65

Limestone 2.71

Dolomite 2.87

Метод позволяет выявлять присутствие газа, АВПД, стратиграфических несогласий.

The litho-density log

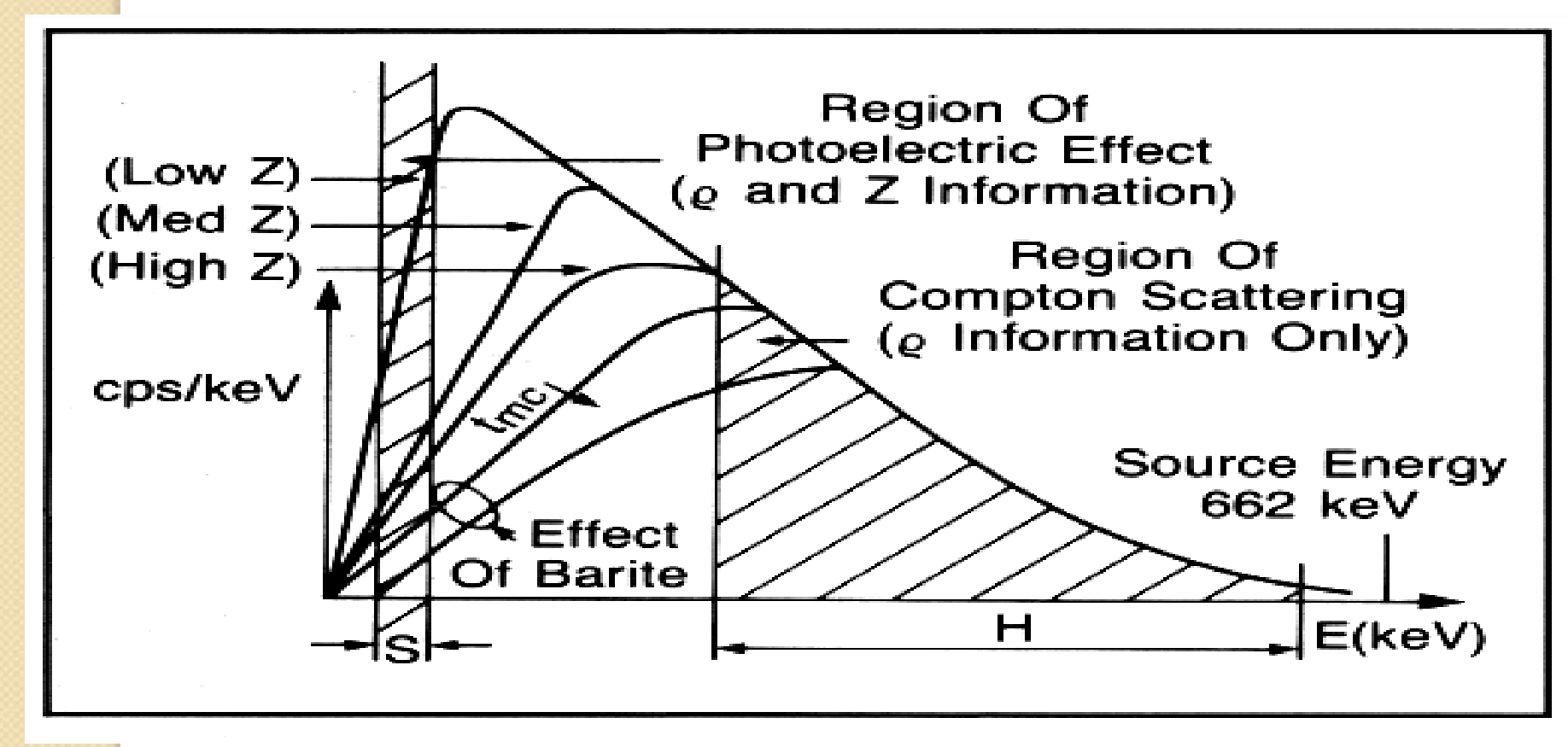
Назначение – определение литологии

Используется прибор аналогичный FDC, - LDT (Litho-Density tool)но детекторы более чувствительны и способны распознавать мягкое излучение (0.04-0.1 МэВ)

Gamma-ray E

Основной принцип - фотоэффект

Варианты спектров гамма излучения



- В энергетическом окне высоких энергий гамма кванты зависят только от электронной плотности
- В окне низких энергий гамма –кванты зависят как от электронной плотности, так и от фотоэлектрического поглощения.

Вероятность фотоэлектрического поглощения зависит от характеристики сечения взаимодействия σ_e . Она измеряется в барнах 1 барн= $10^{-24}~\text{cm}^2$

Фотоэлектрический индекс Р определяется отношением:

$$P_e \equiv \frac{1}{K} \frac{\sigma_e}{Z}$$

Ре индекс фотоэлектрического поглощения

σ_е сечение взаимодействия (барн)

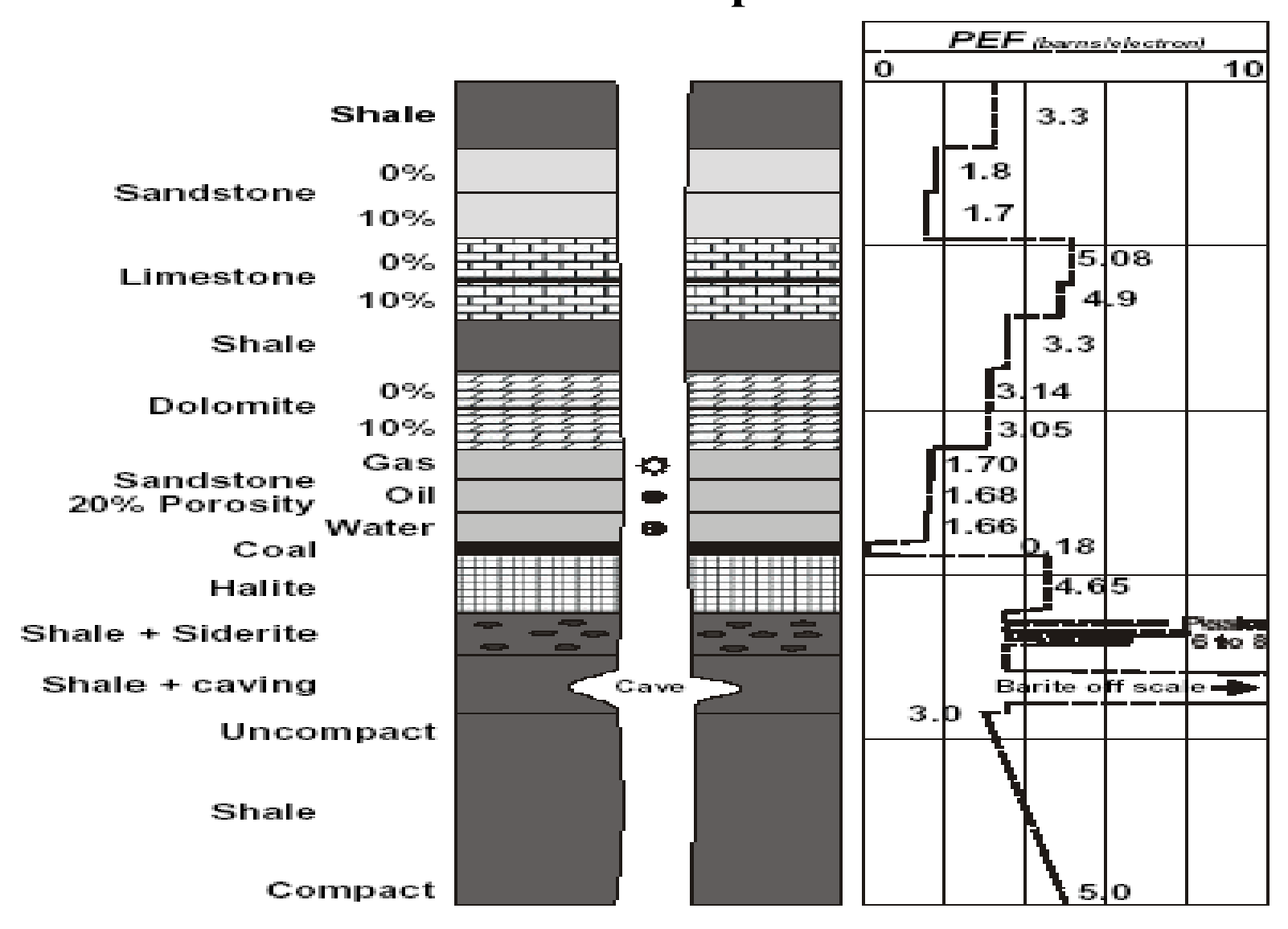
Z - атомный номер (число электронов)

К – коэффициент, зависящий от энергии при которой наблюдается фотоэлектрическое поглощение (безразмерн)

Эмпирическое выражение
$$P_e = \left(\frac{Z}{10}\right)^{3.6}$$

Для смеси минералов
$$Pe = rac{\sum Ai, ZiPi}{\sum Ai, Zi}$$

Схематическое изображение показаний Ре для различных литологических разностей.



ЈАО «ТАТНЕФТЕГЕОФИЗИКА»



Литоплотностной каротаж (ЛПК) основан на облучении окружающей среды (пласт и скважина) гамма - квантами от стационарного импульсного источника на основе 137 Сs и регистрации двумя сцинтицилляционными детекторами плотности потоков гамма - квантов различных энергий, рассеянных горной породой. Непосредственно измеряемые величины - скорости счета в импульсах в минуту (имп/мин) в интегральных и энергетических окнах. Основные расчетные величины - объемная плотность пород δ в г/см³, эффективный атомный номер породы Zэ. Параметр Zэ зависит от литологии, а объемная плотность δ - от пористости и литологии.

ЛПК реализуется каротажным зондом ЛПК.

Применение:

- оценка литологии;
- оценка пористости;
- выделение газоносных пластов.

Технические характеристики:

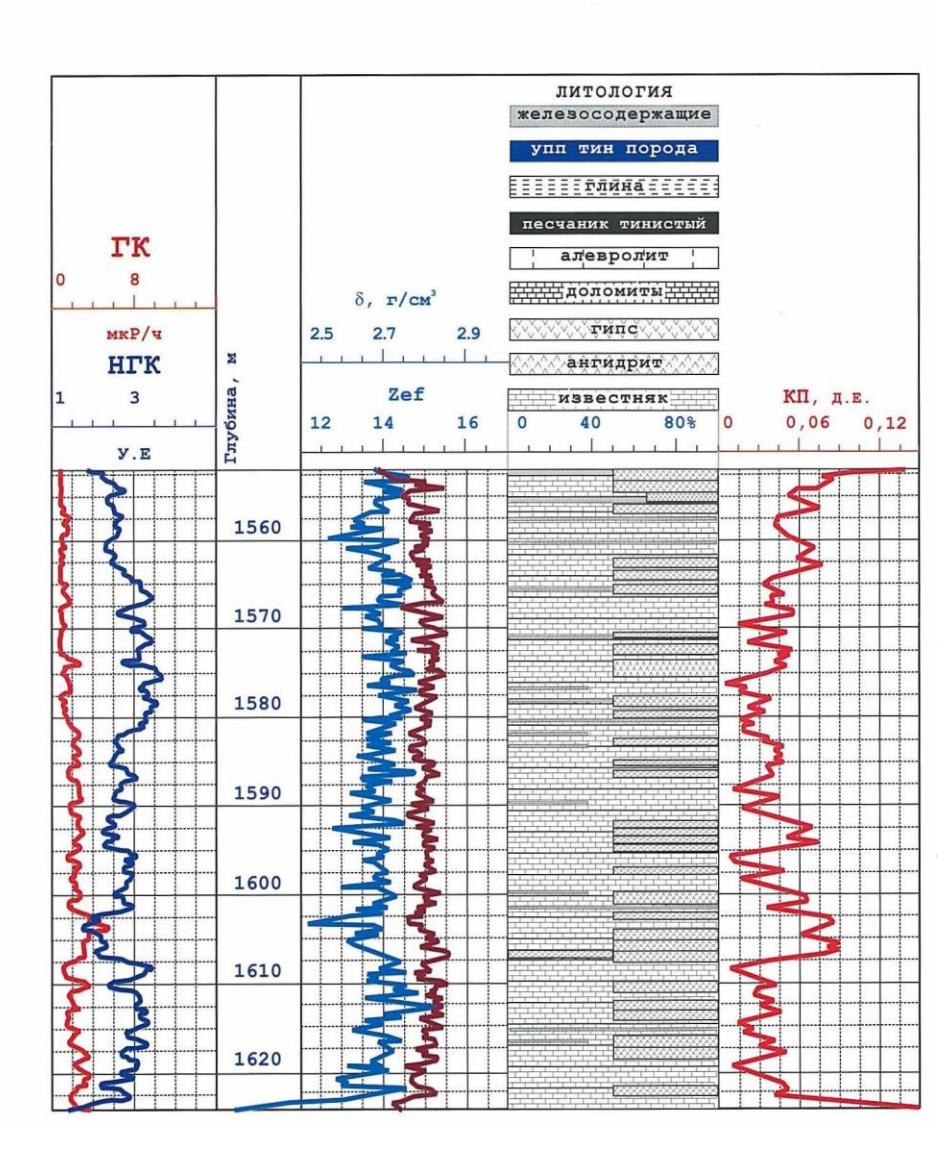
| - M | аксимальное | гидростатическое | давление |
|-----|-------------|------------------|----------|
|-----|-------------|------------------|----------|

- Максимальная глубина исследуемых скважин
- Диаметр исследуемой скважины
- Диапазон измерения плотности
- Диапазон измерения эффективного атомного номера породы Zэ

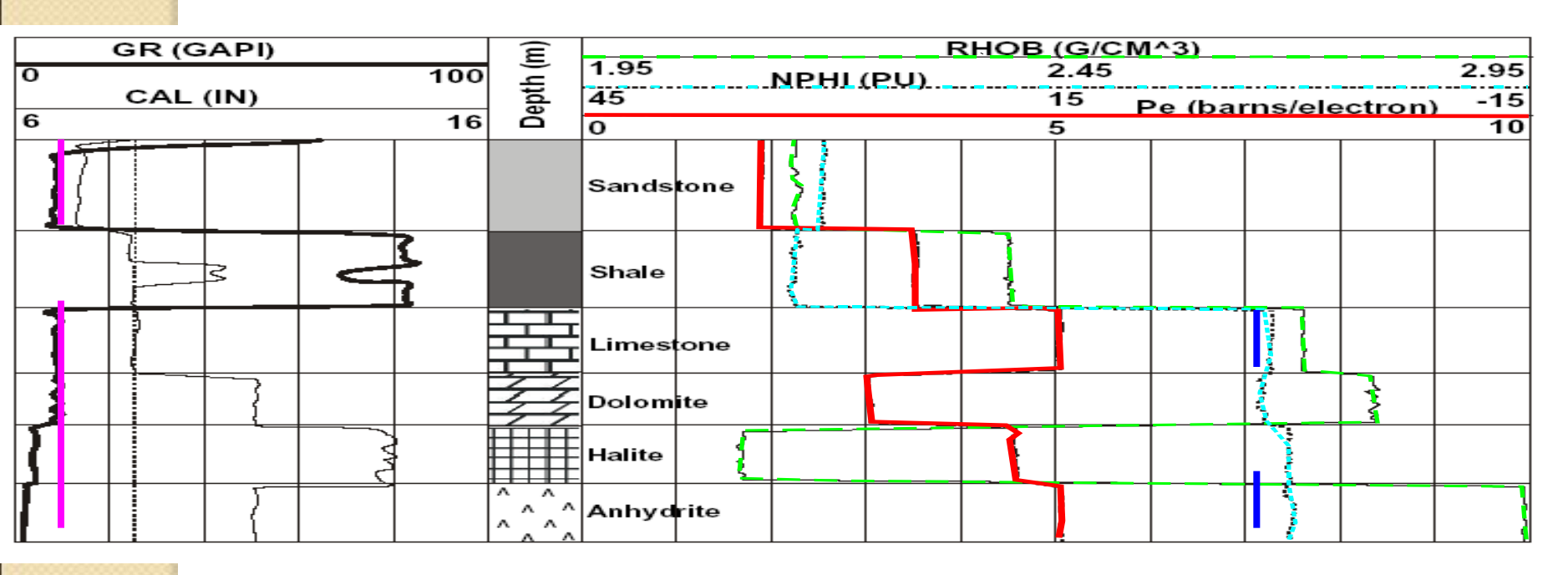
60 МПа 5000 м 150-270мм 2-3,0 г/см³

10-20 барн/эл.

ЛИТОПЛОТНОСТНОЙ КАРОТАЖ (ЛПК)



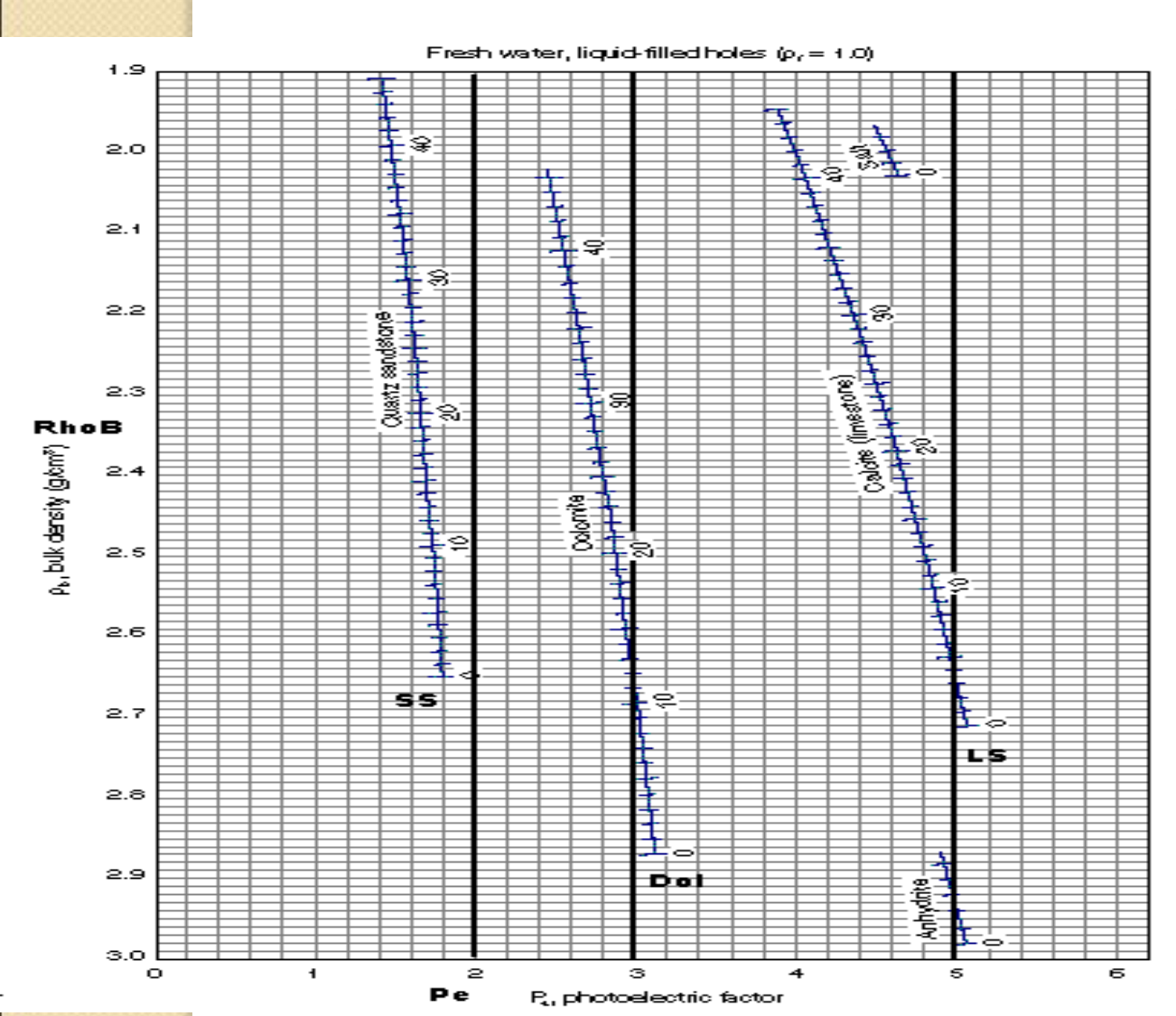
Типичное представление показаний приборов LDT-CNL-GR



$$U = Pe
ho_e$$

U – объемный индекс фотоэлектрического поглощения.
 – чувствителен как к литологии так и к электронной плотности. Часто используется для характеристики свойств пород

Определение пористости и литологии из Litho Density Log



Ре слабо уменьшается с увеличением пористости. Ошибка определения Ре составляет около 5%. Чем больше значение Ре тем больше абсолютная ошибка. Барит в буровом растворе имеет большое значение Ре порядка 237! Небольшое количество барита в буровом растворе сдвинет Ре в сторону больших значений, особенно в зонах с глинистой коркой. Это может быть скорректировано с помощью палетки.

Выводы

The litho-density log

- 1) Назначение определение пористости и литологии.
- 2) Принцип фотоэлектрическое рассеяние.
- 3) Ре слабо чувствительно к пористости, но чувствительно к литологии

Sandstone – 1.8

Dolomite – 3

Limestone – 5

4) Добавки барита в буровой раствор не допускаются

Влияние скважины для плотностного и селективного каротажа сказывается в большей степени, чем для других методов радиоактивного каротажа.

В обсаженной скважине ГГК-П применяют при

- -цементометрии эксплуатационных скважин
- -для определения высоты подъема и наличия пустот в цементном камне, поскольку плотность цементного камня 2,2 г/см3, а жидкости, заполняющей пустоты в нем, 1,0-1,2 г/см3
- при дефектометрии обсадных колонн (для определения качества обсадных колон -трещины, изъяны, парафиновые и глинисты пробки и т.д)
- -определения плотности жидкости в скважине

Контрольные вопросы

- 1.В чем заключается сущность гамма-каротажа?
- 2. Назовите основные естественные радиоактивные элементы изучаемые при ГК. Какие магматические породы и почему обладают повышенной радиоактивностью? Какие осадочные?
- 3. Качественнфй анализ и количественная интерпретация ГК.
- 4.Какой способ используют для определения границ пластов большой мощности по диаграммам ГК?
- 5. Как определяют по ГК содержание радиоактивных элементов?
- 6.На каких физических явлениях основан плотностной гамма-гамма-каротаж (ГГК-П)
- 7. Принцип регистрации сигналов в ГГК. Как устроен скважинный прибор ГГК?
- 8 Модификации метода ГГК
- 9. Какие задачи решаются с помощью ГГК-П на нефтяных и рудных месторождениях?
- 10.Какие параметры г.п. можно вычислить по кривым ГГК